

173981

YILDIZ ÜNİVERSİTESİ  
FEN BİLİMLERİ ENSTİTÜSÜ

$\alpha,\gamma$  - DİKETO ASIT n-OKTİL ESTERLERİ

(Doktora Tezi)

Yük. Müh.

Yaşar Rıza Coşkun

Kocaeli

Mühendislik Fakültesi

1982

## I Ç İ N D E K İ L E R

ÖZET

RESUME

BÖLÜM: I - GİRİŞ . . . . .	I
I.I. ARAŞTIRMANIN AMACI . . . . .	2
BÖLÜM: II - TEORİK BÖLÜM . . . . .	5
II.I. KARBONİL GRUBUNUN ÖZELLİKLERİ . . . . .	5
II.2. KETO-ENOL TAUTOMERİSİ . . . . .	7
II.3. ESTERLEŞME REAKSİYONLARININ MEKANİZMASI . . . . .	12
II.4. CLAISEN KONDENSASYONUNUN ESASLARI . . . . .	14
II.5. CLAISEN KONDENSASYONUNUN BU ÇALIŞMADA UYGULANMASI . . . . .	17
BÖLÜM: III - DENEYSEL BÖLÜM . . . . .	19
III.I. KULLANILAN KİMYASAL MADDELERİN ELDE EDİLMESİ . . . . .	19

III.1.1. SODYUM OKTİLAT ELDE EDİLMESİ . . . . .	19
III.1.2. OKSALİT ASİT Dİ N-OKTİL ELDE EDİLMESİ . .	19
III.2. $\alpha$ , $\gamma$ -Dİ KETO ASİT N-OKTİL ESTERLERİNİN ELDE EDİLMESİ . . . . .	20
BÖLÜM: IV - ÇALIŞMADA ELDE EDİLEN ESTERLERİN ÖZELLİKLERİİNİN İNCELENMESİ . . . . .	
IV.1. ESTERLERİN ASİT TİTRASYONLARI . . . . .	23
IV.2. ESTERLERİN ENOL TİTRASYONLARI . . . . .	24
IV.3. ESTERLERİN KIRILMA İNDİSLERİ . . . . .	26
BÖLÜM: V - BU ÇALIŞMADA KULLANILAN ANALİZ CİHAZLARI VE SPEKTROGRAMLARIN YORUMLANMASI . . . . .	
V.1. IR CİHAZI ÇALIŞMA PRENSİBİ . . . . .	27
V.2. NMR CİHAZI ÇALIŞMA PRENSİBİ . . . . .	30
V.3. KARBON VE HİDROJENİN MİKRO TAYINI . . . . .	34
V.4. IR SPEKTROGRAMININ YORUMLANMASI . . . . .	35
V.5. NMR SPEKTROGRAMININ YORUMLANMASI . . . . .	36
BÖLÜM: VI - SONUÇ . . . . .	
LİTERATÜR . . . . .	41
ÖZGEÇMİŞ . . . . .	43

## ÖZET

Bu çalışmada,



genel formülündeki  $\alpha,\gamma$ -diketo asit n-oktil esterlerinden  
 $R=CH_3$ ,  $CH_3-CH_2$ ,  $CH_3-(CH_2)_2$ ,  $CH_3-(CH_2)_3$ ,  $CH_3-(CH_2)_4$ ,  
 $CH_3-(CH_2)_5$ ,  $(CH_3)_2-CH$ ,  $(CH_3)_2-CH-CH_2$  ve  $C_6H_5$  olmak  
üzere 9 tanesinin, bu alkil gruplarını içeren metil  
ketonların, oksalik asit di n-oktil esteri ile sodyum  
oktilat beraberinde Claisen Kondensasyonu ile sentez  
edilmişler ve özellikleri incelenmiştir. Bunların tamamı<sup>1</sup>  
açık sarı renkte sıvı maddelerdir. Bu esterler beklenildiği  
gibi keto-enol tautomerisi gösterirler. Bu çalışmada  
esterlerin enol yüzdesleri belirlenmiştir. Alkollü  
çözeltide sodyum hidroksit ile titrasyonları yapılmış  
ve mol başına yaklaşık olarak bir mol alkali sarfedilmiştir.  
Kırılma indeksleri  $40^{\circ}C$  da tayin edilmiştir.

Saf esterlerin IR ve Elementer analizleri İ.Ü.  
Eczacılık Fakültesinde, NMR spektrogramları ise Boğaziçi  
Üniversitesi Kimya Fakültesinde çektilmiştir.

Keto grubu tanım reaksiyonları ön deneme olarak  
yapılmış ve yeşil renkli billüri bakır, beyaz kristalize  
2,4-dinitro fenil hidrazin türevleri elde edilmiştir.

Ayrıca bu çalışmada daha önce heksil ve heptil esterleri henüz sentez edilmemişlerken kasıtlı olarak atlama yapılmış ve oktil esterleri elde edilmiştir. Böylece Claisen Kondensasyonu ile daha yüksek moleküllü oktil esteri elde edilmekle heksil ve heptil esterlerinin de elde edilebileceği kanıtlanmıştır.

## R E S U M E

Dans le présent travail, neuf esters n-octyliques des acides 2,4-dicetoniques de formule générale R=CH<sub>3</sub>, CH<sub>3</sub>-CH<sub>2</sub>, CH<sub>3</sub>-(CH<sub>2</sub>)<sub>2</sub>, CH<sub>3</sub>-(CH<sub>2</sub>)<sub>3</sub>, CH<sub>3</sub>-(CH<sub>2</sub>)<sub>4</sub>; CH<sub>3</sub>-(CH<sub>2</sub>)<sub>5</sub>, (CH<sub>3</sub>)<sub>2</sub>-CH, (CH<sub>3</sub>)<sub>2</sub>-CH-CH<sub>2</sub> et C<sub>6</sub>H<sub>5</sub> ont été synthétisés par la méthode de Claisen et ont été étudié leurs propriétés. Ces sont tous jaunes liquides composés. Comme il est connu, ces esters manifestent une tautomerie ceto-énolique. En ce travail, sur cent d'enol d'esters ont été trouvés. C'est pourquoi ils sont acidiques et donc titrables en solution alcoolique avec une d'hydroxyde de sodium: les consommations théoriques et expérimentales concordent. Ses indises de refraction à 40°C ont été fixées.

Les analyses élémentaires et IR d'esters pur à la Faculté de Pharmacie de l'Université d'Istanbul, spectrogrammes RMN avaient été faites faire à la Faculté de Chimie de l'Université de Boğaziçi.

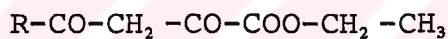
La définition de réaction groupe de ceto a été faite comme avant l'essai et ont été obtenues les dérivés de cuivre cristallisé vert, et 2,4- dinitro phenylhydrazine cristallisé blanc,

D'autre part, à ce travail avant d'obtenir la synthèse des esters de hexyl et heptyl, sciemment ça n'a pas été fait et les esters d'octyl ont été obtenus. Ainsi on a été prouvé avec la condensation de Claisen obtenir l'esters d'octyl en même temps obtenir les esters de heptyl et hexyl.

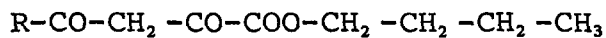
## B Ö L Ü M      I

### GİRİŞ

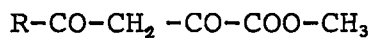
İ.Ü. Kimya Fakültesi Gıda Kimya Kürsüsünde  $\alpha, \gamma$ -diketo asit esterlerinin bir kısmının sentezi yapılmış ve bazı özellikleri incelenmiştir. Bunlardan açil pirüvik asit etil esterleri Breusch ve Keskin(1),



açil pirüvik asit butil esterleri Keskin ve Erkmen (2),



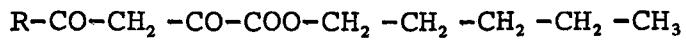
açil pirüvik asit metil esterleri Keskin ve Yanço (3),



açil pirüvik asit propil esterleri Keskin ve Onural (4),



açil pirüvik asit pentil esterleri Keskin ve Safgönül (5),



tarafından sentez edilmişlerdir. Açıł pirüvik asit n-oktil esterlerilarındaki bu çalışmada Kimya Kürsüsü Başkan Yardımcısı Doç. Vahdet Safgönül bana vermiş bulunmaktadır.

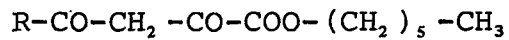
## I. I. ARAŞTIRMANIN AMACI

Bu çalışmada sentez edilen ve bazı özellikleri incelenen açılı pirüvik asit n-oktil esterlerinin genel formülü aşağıdaki gibidir.

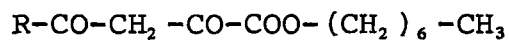


Bugüne kadar  $\alpha,\gamma$ -diketo asitlerin heksil ve heptil esterleri henüz elde edilmemişken, daha yüksek moleküllü oktil esterleri elde edilerek, bunların özelliklerinin incelenmesi yanında diğerlerinin de aynı yöntemle elde edilebileceklerinin kanıtlanması amaçlanmıştır.

Bilindiği gibi  $\alpha,\gamma$ -diketo asitlerin heksil ve heptil esterlerinin muhtemel formülleri şöyle olmalıdır:

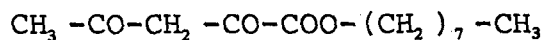


Heksil esteri,

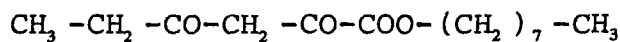


Heptil esteri.

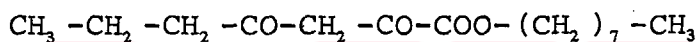
Bu çalışmada sentez edilen açılı pirüvik asit n-oktil esterlerinin formülleri sırası ile aşağıda verilmiştir.



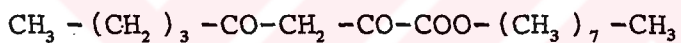
$\alpha, \gamma$  diketo pentanoik asit n-oktil esteri,



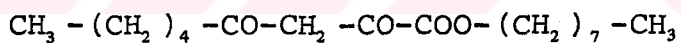
$\alpha, \gamma$  diketo heksanoik asit n-oktil esteri,



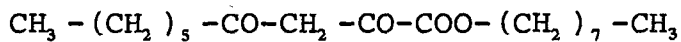
$\alpha, \gamma$  diketo heptanoik asit n-oktil esteri,



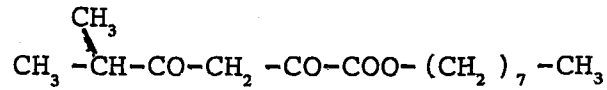
$\alpha, \gamma$  diketo oktanoik asit n-oktil esteri,



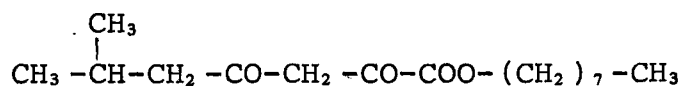
$\alpha, \gamma$  diketo nonanoik asit n-oktil esteri,



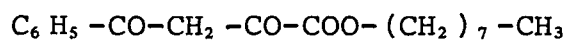
$\alpha, \gamma$  diketo dekanoik asit n-oktil esteri,



2,4 diketo-5 metil heksanoik asit n-oktil esteri,



2,4 diketo-6 metil heptanoik asit n-oktil esteri,



Benzoil pirüvik asit n-oktil esteri.

Bu maddelerin tamamı açık sarı renkte sıvı maddelerdir. Adı geçen bu esterler, metil ketonların, oksalik asid di n-oktil esteri ile sodyum oktilat beraberinde Claisen Kondensasyonu metodu ile sentez edildiler.

## BÖLÜM II

### TEORİK BÖLÜM

#### II.I. KARBONİL GRUBU ÖZELLİKLERİ

Bilindiği gibi karbonil grubu  $\text{C=O}$  şeklinde gösterilmektedir. Burada  $\text{sp}^2$  hibritleşmesi vardır ve düzlemseldir. Oksijen atomunun elektronegatif olması nedeniyle ( $\text{C=O}$ ) bağı induktif olarak polardır, ayrıca ( $\text{C=O}$ ) çift bağı ile ( $\text{C-O}$ ) tek bağı arasında mezomeri (rezonans) olanağı bulunduğundan mezomerik polarlıkta vardır. Induktif polarlık fiziksel özelliklerini meydana getirir, mezometrik polarlıkla ise karbonil grubunun kimyasal reaksiyonları açıklanır.

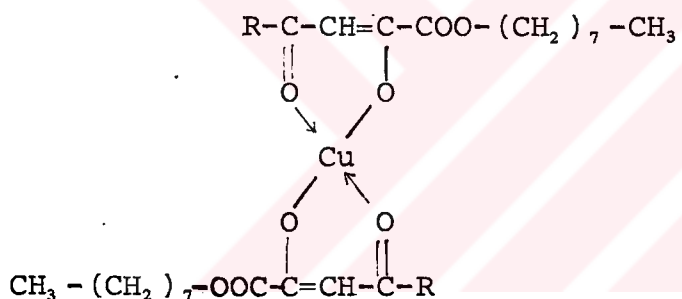
Karbonil grubu, alkollerden farklı olarak kendi molekülliyle assosiasyon yapmaz. Bu nedenle kaynama noktaları kendilerine tekabül eden alkollerinkinden daha düşüktür.

Öte yandan eterlerden daha yüksek sıcaklıklarda kaynarlar. Sebebi, eterlerin sadece induktif polar olması, karbonil grubunun ise hem induktif, hemde mesomerik polarlığa sahip olmasıdır.

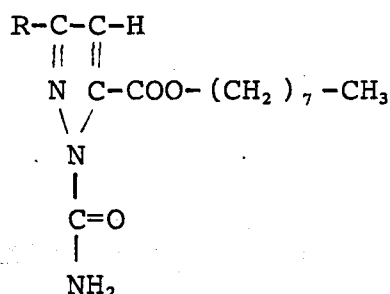
Karbonil grubu bulunan bileşiklerde molekül büyütükçe, hidrokarbon grubunun hidrofob etkisi hakim olmaya başlar ve suda çözünürlük azalır.

Karbonil grubu indüktif ve mezomerik polarlığı nedeniyle, kimyasal reaksiyonlar bakımından çok etkindir. Birtakım katılma ve kondensasyon reaksiyonları verebilir.

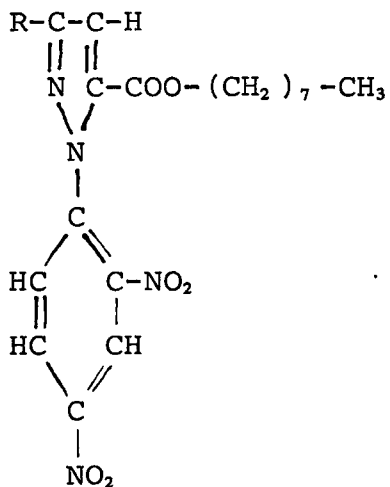
Bu çalışmada, elde edilen esterlerin keto grubu reaksiyonlarına örnek olarak, bakır asetat, semi karbazit ve 2,4-dinitro fenil hidrazinle vermiş olduğu reaksiyonlar ön deneme olarak yapıldı. Teşekkül eden bileşiklerin muhtemel formülleri şöyledir:



Esterlerin bakır bileşiği.



1-karbomil-3-Alkil pirazol-5-karboksilli asit n-oktil esteri. (Esterlerin semi karbazit bileşiği).



1-(2,4-dinitro fenil)-3-alkil pirazol-5-karboksilli  
asit n-oktil esteri.

(2,4-dinitro fenil hidrozin bileşiği).

## II.2. KETO-ENOL TAUTOMERİSİ

Dikarbonil grubunun bulunduğu bileşiklerin karakteristik reaksiyonlarından birisi de, iki karbonil grubu arasında bulunan ve bunların etkisi ile son derece aktif hale gelmiş olan metilen grubu reaksiyonudur. Keto ve ester gibi pozitifleştirici grupların arasında bulunan bu (CH<sub>2</sub>, veya CHR) metilen hidrojeni, gevşek olduğundan, yerinden ayrılarak komşu keton veya ester grubu karboniline geçme eğilimindedir. Bunun sonucu olarak enolat adı verilen alkali tuzları meydana gelir. Enollerin oksijene bağlı hidrojeni de ayrılarak (C) üzerine geçme eğilimini taşır ve keton yeniden meydana gelir.

L.Claisen, W.Wislicenus, L.Knorr ve diğerleri diketo ve keto esterlerinden iki izomer elde etmeyi

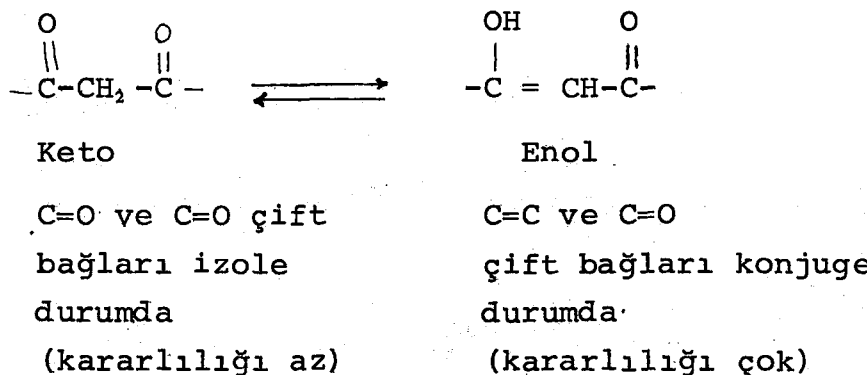
başardılar. Bu keto ve enol şekilleri arasında belirli bir denge vardır ve bu iki izomer şekli, fiziksel ve kimyasal özellikleri tamamen farklı olan bileşiklerdir.

İşte keto-enol tautomerliği, böyle birbirine kolaylıkla dönüşebilen bileşiklerin dengesidir. Belirli koşullarda, dengede, her iki bileşikten de belirli oranlarda bulunur. Yani bir denge karışımıdır.

Su, alkol gibi hidrofil assosiasyon yapabilen çözücülerde enol şekli azalır, keto şekli çoğalır. Benzen, hekzan gibi hidrofop çözücülerde bunun tersi olur, enol şekli çoğalır, keto şekli azalır.

$\beta$ -dikarbonil bileşiklerinde sıvı veya çözelti halinde önemli miktarda enol bulunur. Bunda tabiatıyla, hidrojenlerin karbonil grupları tarafından gevşetilmesinin etkisi büyktür. Ancak, oksijene bağlı hidrojenlerinde yeteri kadar gevşek olduğu bilinmektedir. O halle enol kararlılığını arttıran başka etkiler olmalıdır. Bunlar;

1)  $\beta$ -dikarbonil bileşiklerinde meydana gelen enollerde kararlı sistemlerden oluşan konjuge çift bağların bulunması,



2)  $\beta$ -dikarbonil bileşiklerinde görülen, hidroksil hidrojeni ile karbonil oksijeni arasında oluşan kelat şeklindeki hidrojen köprüsüde kararlılığı arttırmır.

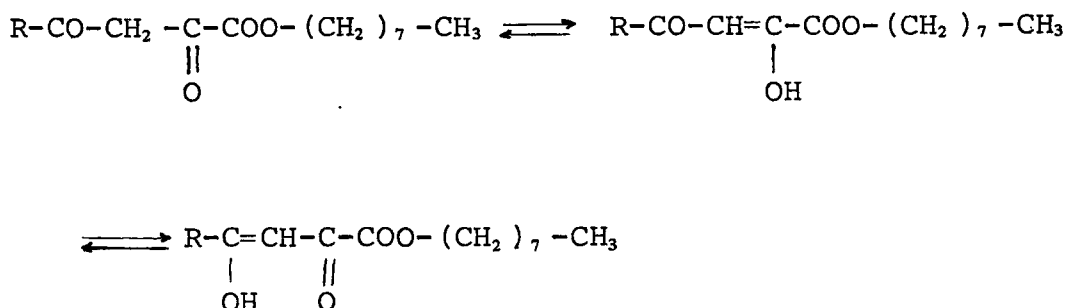


Molekül yapısında keto-enol tautomerliğinde büyük etkisi vardır. (-CHO) aldehit grubu, (-COR) keton grubundan daha etkindir. Çünkü, aldehit grubu, induktif olarak daha polardır. Aldehit karbonili konjuge çift bağ sistemine daha iyi eşlik eder.

Keto ve enol şekilleri arasındaki kimyasal fark, enol şeklinin bariz şekilde asit reaksiyonu göstermesi ve alkali çözeltide süratle çözünmesidir. Buna karşılık keto şekli nötr hareket eder ve NaOH da çözünmez. Keto şekli bromla çok yavaş reaksiyona girer ve  $\text{FeCl}_3$  ile renk vermez, enol şekli ise bromla hızlı etkileşir ve  $\text{FeCl}_3$  ile kırmızı renk verir.

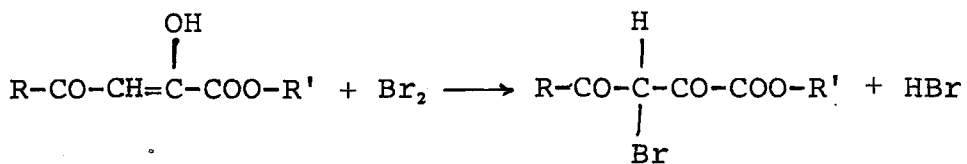
Yapılan çalışmalarda görülmüştür ki, bir keto'nun enol'e dönüşmesi endoterm bir reaksiyondur ve karbonil grubunun enolleşme meyli aldehitlerden ketonlara ve karboksilli asit esterlerine doğru azalır. Substituentler asitleştirici etkilerinin tersine bir enolleştirme etkisine sahiptirler.

Esterlerin enol titrasyonları K.H. Meyer'in endirekt metodu (6 ve 7) ile yapıldı. Bütün bu maddeler saf veya çözelti halinde tautomerler karışımındırlar.

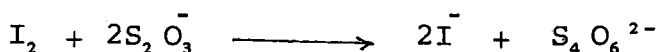
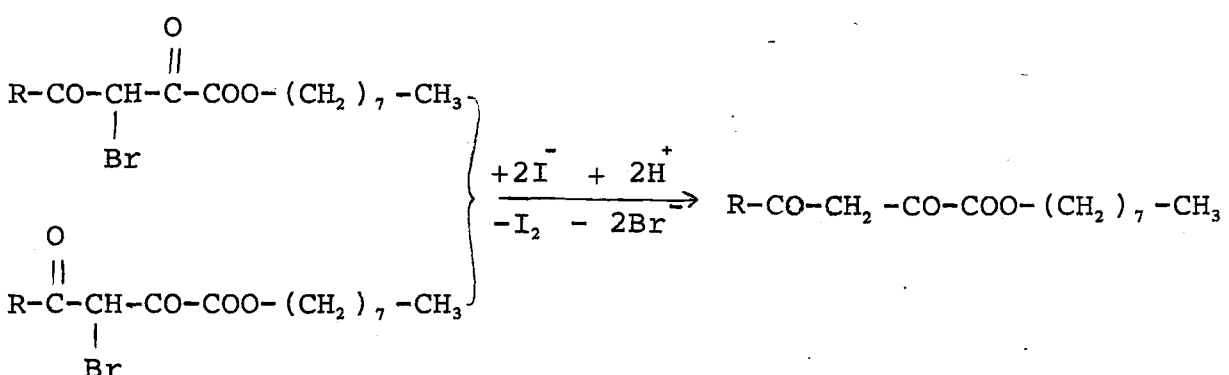
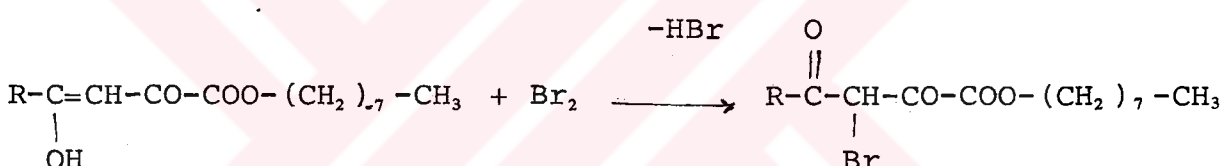
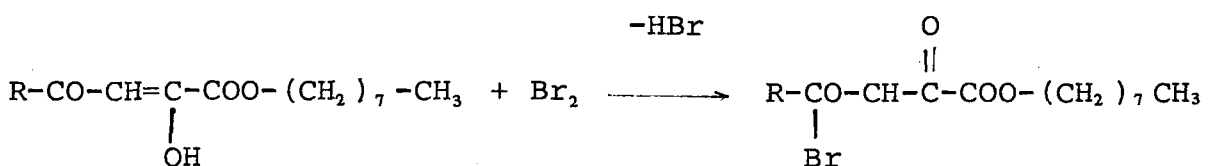


Çoğuunda % 100'den fazla enol bulunmaktadır. Asetil pirüvik asit etil esterinde de Scheibe ve Herld (8) tarafından % 100'den fazla enol bulunmuş ve bu di enol teşekkülüne atfedilmiştir. Halbuki Dieckman (9) butiril pirüvik asit etil esteri üzerine olan çalışmalarında yine mono enolden fazla brom sarfedildiğini bulmuş ve bunun di enolden değil, önce meydana gelen brom katılması reaksiyonunda HBr çıkışısı ile meydana gelen çifte bağa brom kapatılmasından ileri geldiğini iddia etmektedir.

Keto-enol sisteminin denge noktasının belirlenmesinde uygulanan analitik metod, enol şeklinin bromla çok çabuk reaksiyon vermesine karşılık keto şeklinin bromla reaksiyon vermemesi esasına dayanmaktadır. Bromlanma hızının kesildiği noktaya kadar bromla direkt titrasyonla enol miktarı direkt Kurt Meyer titrasyon metodu ile belirlenebilmekte ise de bu metod duyarlı değildir. Çünkü enol şekli ile bromun reaksiyonundan oluşan HBr daha fazla keto şeklinin enol şeklinde dönüşmesini katalize etmektedir.



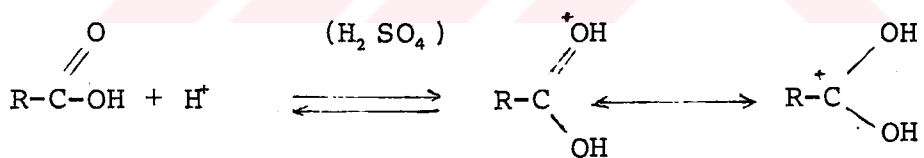
Bunun sonucu olarak da bitiş noktası kesin olma-  
makta ve yanlış çıkmaktadır. Onun için daha doğru olarak  
endirekt metod çok uygulanmaktadır. Bu endirekt metod  
keto-enol sistemine brom fazlasını katıp, başlangıçtaki  
enolün çabuk reaksiyonundan bromu  $\beta$ -naftol ile bozundur-  
mak ve KI ilavesiyle enol, bromlu trüvinin bromu ile  
iyodu aşağı çıkararak sodyum tiyosülfatla titre etmekten  
ibarettir.



## II.3. ESTERLEŞME REAKSİYONLARININ MEKANİZMASI

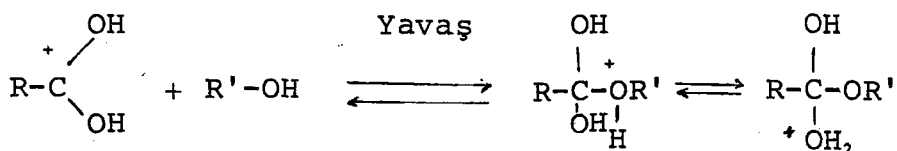
Karboksilli asitlerle alkollerin reaksiyona girmesinden oluşan esterleşme reaksiyonlarında, reaksiyonun tersi de daima mümkündür. Ancak ester verimini artırmak için, bazı çareler vardır. Örneğin meydana gelen su ortamdan uzaklaştırılabilir. En çok kullanılan yöntem  $H_2SO_4$ 'ün su çekici özelliğinden faydalananarak ortamdan suyu çekmektir.

Esterleşme reaksiyonlarında kararsız ara ürünler ve bunlar arasında proton transferi dengeleri vardır. Reaksiyonu başlatan asit katalizörün etkisi, bir protonun karboksilli asidin çift bağlı oksijenine bağlanması ve onu "karbonyum iyonu" şeklinde etkinleştirmesi şeklidir.



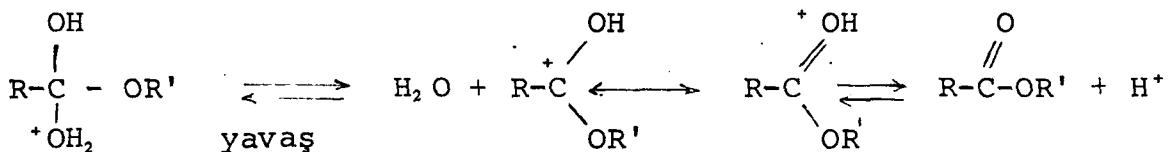
(Rezonansın karbonyum iyonu şeklindeki polar sınır formülü).

Bundan sonra alkol molekülü oksijen atomıyla, karboksilli asidin pozitifleşmiş olan merkezi karbon atomuna bağlanarak kararsız olan karboksilli asidin mono-ortho esteri katyonu oluşur.



(Mono-ortho ester katyonu - kararsız).

Kararsız olan mono-ortho esteri katyonunda proton geçişleri olur. ( $-\text{OH}_2^+$ ) durumunda, su molekülü kolaylıkla ayrılarak ester katyonu meydana gelir. Buda kolaylıkla proton kaybederek estere dönüşür.

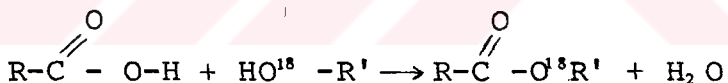


Esterleşme reaksiyonunda, karboksilli asit ile alkol molekülleri arasından suyun ayrılması iki şekilde düşünülebilir.

1) (OH) grubu karboksilli asitten, (H) alkolden



2) (OH) grubu alkolden, (H) karboksilli asitten,

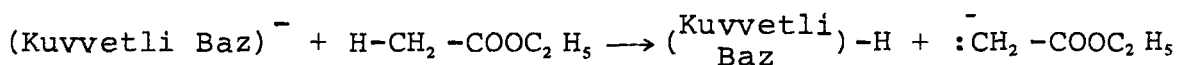


Her iki reaksiyondanda aynı ester molekülü meydana gelir. Hatta karboksilli asitlerdeki (H) alkollere nazaran çok daha gevşek olduğundan 2.ci reaksiyonun daha çok muhtemel olduğu beklenir. Ancak  $\text{O}^{18}$  izotopuyla yapılan denemeler, (OH) grubunun karboksilli asitlerden ayrıldığını göstermiştir.

Esterleşme reaksiyonunda en yavaş oluşan basamak, karboksilli aside veya estere bir protonun bağlanmasıyla oluşan katyona, alkol molekülünün bağlanmasıdır. Daha doğrusu reaksiyon hızını belirleyen bu basamaktır.

## II.4. CLAISEN KONDENSASYONUNUN ESASLARI

Esterlerin  $\alpha$ -karbonunun hidrojenleri karboalkoksi grubu (-COOR) tarafından az çok gevşetilmişdir. Güçlü bazlarla alınabilirler. Örnek olarak etil asetatı alırsak;



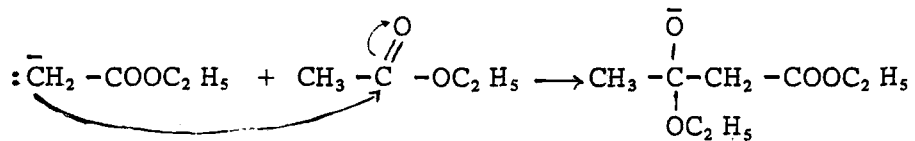
Burada kullanılan kuvvetli bazlar, Na, NaH,  $\text{NaNH}_2$ , R-ONa gibi bazlardır. Meydana gelen anyon rezonans nedeniyle kararlıdır.



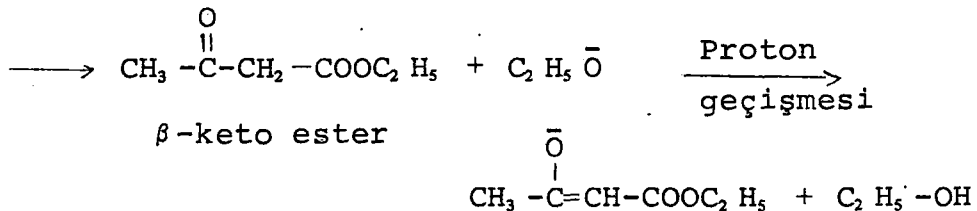
Ortamda henüz serbest halde bulunan etil asetat molekülü ise, karbonil rezonansı nedeniyle merkezi (C) atomunda bir okted boşluğu bulundurur.



Meydana gelen karbonyan, esterin pozitifleşmiş olan merkezi karbon atomuna bağlanır ve bir yarı ketal anyonu meydana gelir.

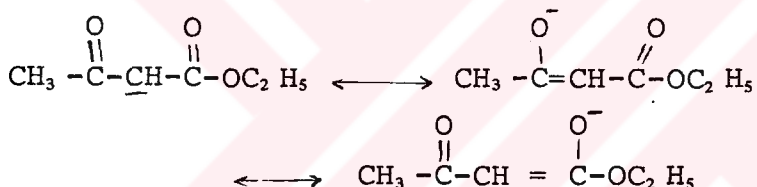


Yarı ketal anyonu.

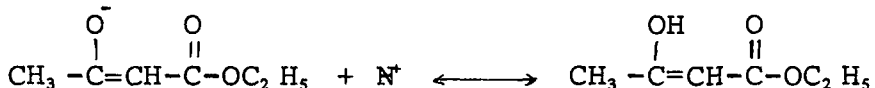


$\beta\text{-keto ester anyonu.}$

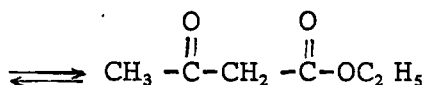
Yarı ketal anyonu kararsız olduğundan alkol ayrılarak ketona dönüşür. Bu bir  $\beta\text{-keto ester}$ dir. ( $\text{CH}_2$ ) grubu keto ve ester karbonilleri arasında bulunduğu için, hidrojenleri alkol hidrojeninden daha gevşektir. O halde alkooolat bu hidrojeni alarak onu anyon haline dönüştürür. Rezonans bu anyonun kararlılığını artırır.



Meydana gelen anyon asitlendiğinde proton önce oksijene bağlanır, enol şekli oluşur. Sonra bu keto şecline tautomerleşir. Meydana gelen bileşik aseto-aset esteridir.



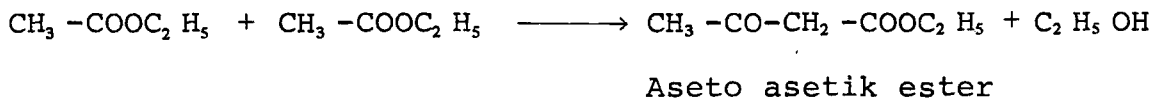
Aseto asetik ester (Enol)



Aseto asetik ester (Keto)

Reaksiyonu topluca gösterecek olursak;

(Na)

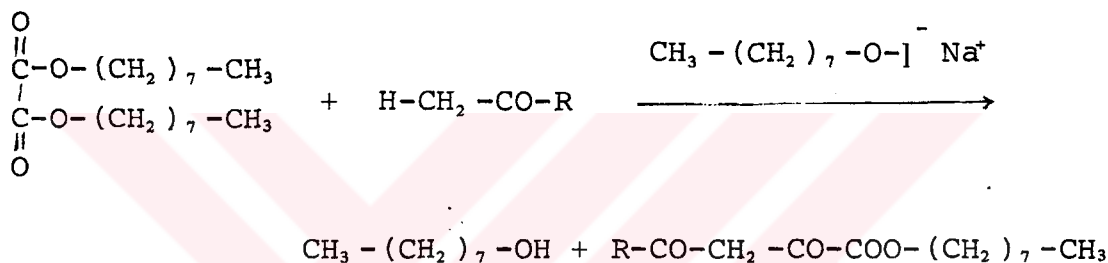


İşte bu şekilde iki ester molekülünün, baz katalizli ve aralarından alkol ayrılımasıyle meydana gelen kondensasyon reaksiyonuna "Claisen Kondensasyonu" denir. Bu kondensasyonda, reaksiyona katılan iki ester molekülden, güçlü bazın etkisiyle  $\alpha$ -hidrojenini veren ve böylece ikinci ester molekülüne katılacak olan karbonyonu oluşturan ester molekülüne "metilen bileşeni" denir. Kendisine katılmadan meydana geldiği ester molekülüne "ester bileşeni" denir.

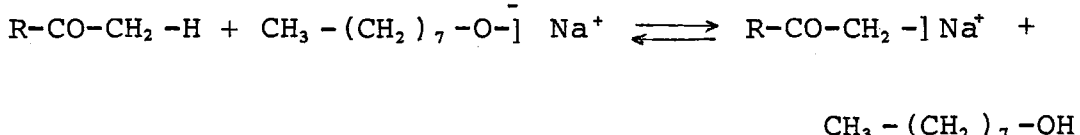
Deneysel göstermiştir ki, metilen bileşeninde  $\alpha$ -karbonunda iki (H) olması durumunda karbonyonun oluşması reaksiyonu çok hızlı yürürlüktedir. Bunun nedeni katılmadan ilk ürünü olan yarı ketal anyonundan, alkoolat anyonunun ayrılımasıyle bir keto ester meydana gelir. Alkoolatın bundan (H) alarak  $\beta$ -keto ester anyonu haline dönüştürülmesiyle meydana gelen anyon, yukarıdaki denklemlerde görüleceği gibi rezonans nedeniyle  $\beta$ -keto esteri kendisinden daha çok kararlıdır. O halde, alkoolat anyonunun, (H) alarak  $\beta$ -keto esteri, daha kararlı olan anyonuna dönüştürülebilmesi için,  $\alpha$ -karbonunda ikinci bir (H) olması gereklidir.

## II.5. CLAISEN KONDENSASYONUNUN BU ÇALIŞMADA UYGULANMASI

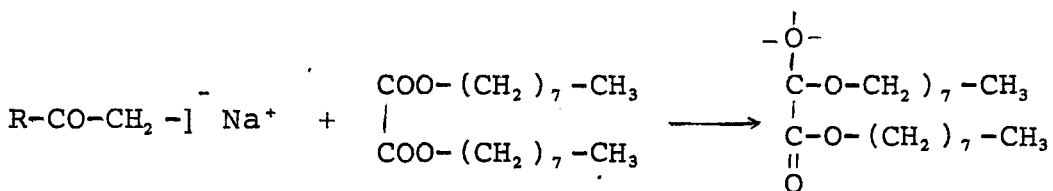
Metil ketonların oksalik asit di n-oktil esteri ile kuvvetli alkali reaktif sodyum alkoolat beraberindeki Claisen Kondensasyonu şu şekilde olur:

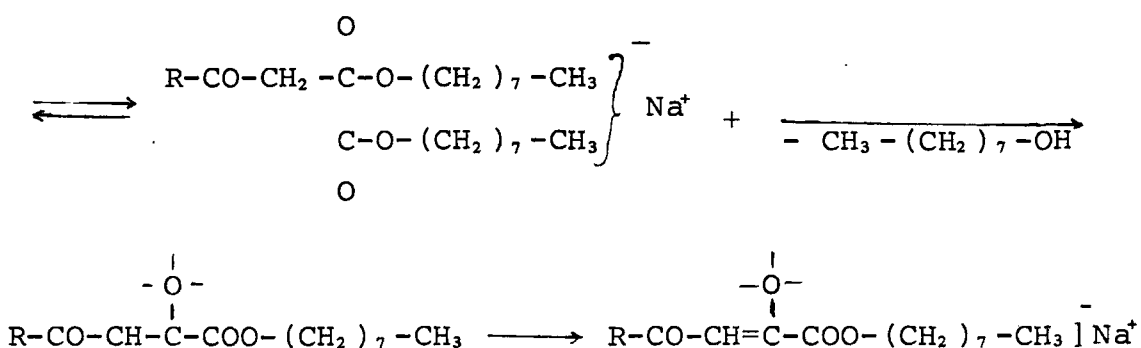


Bu reaksiyonun mekanizması, aldol katılmasına benzer şekilde kuvvetli bazik reaktif sodyum alkoolat beraberinde bir protonun iyonlaşması olmakta,

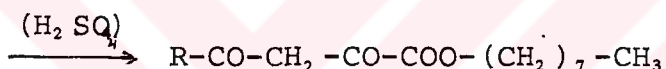


ve meydana gelen metilen ortağının ortaklanmamış elektron çifti, ester ortağının polarize olmuş karbonil grubunun elektrofil karbon atomu ile bir bağ teşkil etmektedir.  
Aşağıdaki reaksiyonda;





Claisen Kondensasyonunun son ürünü sodyum enolatıdır. Buradan reaksiyon sonunda asit katmakla  $\alpha,\gamma$ -diketo asit esteri serbest kılınır.



Daha önceki çalışmalarında (2), (3), (4), (5)de de saptandığı gibi ester ortağı ve kondensasyon aracı sodyum alkoolatın, elde edilecek esterin aynı alkil grubuna malik olması gerekmektedir. Yani burada n-oktil esterleri elde edildiğine göre, ester ortağının di-oktil oksalat ve sodyum alkoolatın, sodyum -n-oktilat olması gerekmektedir. Aksi halde ayrılması çok güç olan değişik esterler karışımı elde edilir.

## BÖLÜM III

### DENEYSEL BÖLÜM

#### III.I. KULLANILAN KİMYASAL MADDELERİN ELDE EDİLMESİ.

##### III.1.1. Sodyum oktilat hazırlanması:

Üzerine geri soğutucu takılmış dibi yuvarlak bir balona 80 ml. n-oktanol konur. Devamlı ısıtılan alkol üzerine yavaş yavaş 6 gr. metalik sodyum ilave edilir. Reaksiyon esnasında sodyum ilavesiyle renk, sarıdan turuncuya doğru koyulaşır. Reaksiyon sonunda renk tekrar açıldı. Yavaş yavaş yoğunlaşan sodyum oktilat katıldı. Reaksiyon 7 saatte tamamlandı. Son durumda renk, sarıturuncu, buzdolabında muhafaza edilir.

##### III.1.2. Oksalit asit di oktil esteri<sup>\*</sup> hazırlanması:

500 ml.lik bir balona, etüvde kurutularak suyu

\* Oksalik asit di oktil esteri Vogel (10) ve Naff (11) a göre elde edildi. Yüksek verim dolayısıyla daha çok birincisi tercih edildi.

uçurulmuş oksalik asitten 40 gr. alınır. 130 ml. oktil alkol, 130 ml. benzen ve 15 ml. sülfat asidi ilave edilir. Balona bir geri soğutucu ve soğutucunun ucuna da bir  $\text{CaCl}_2$  borusu takılır. Isıyi yavaş yavaş yükseltmek suretiyle 36 saat kaynatılır. Reaksiyonun başlangıcında açık olan renk, kaynamaya başlayıp oksalik asit reaksiyona girdikçe koyulaştı. Sonuçta renk koyu kırmızı-kahverengi.

2 lt.lik bir beher içine konulan 1 lt. destile su üzerine soğutulmuş reaksiyon karışımı ilave edilir. Şiddetle karıştırılır. Ayırma hunisine alınır. Üstteki benzenli faz ayrılır. Sulu kısım eterle iyice çalkalanır. Eterli faz alınır. Önce ayrılan benzenli faz ile karıştırılır. Doymuş  $\text{NaHCO}_3$  çözeltisi ile mavi turnusolun rengi mavi kalana kadar ayırma hunisinde yıkılır. Üstteki faz alınır. Susuz  $\text{Na}_2\text{SO}_4$  ile kurutulur. Kurutulmuş reaksiyon karışımı önce basit destilasyona tabi tutulur. Sırasıyla karışımındaki eter ve benzen ayrıldı.  $120^\circ\text{C}$  da destilasyon kesildi. Daha sonra vakumda destilasyona devam edildi. 4 mm. Hg basınçta  $80^\circ\text{C}$  da birinci fraksiyon ayrıldı. Sonra sıcaklık büyük bir hızla yükselmeye başladı. 4 mm. Hg basınçta  $214-216^\circ\text{C}$  da oksalik asit di-n-oktil esteri hızla destilendi. Renk, açık sarı. Ester soğuduktan sonra ağızı kapalı bir şekilde buzdolabında saklanır.

### III.2. $\alpha,\gamma$ -DİKETO ASİT N-OKTİL ESTERİNİN ELDE EDİLMESİ

-1/8 mol metil keton ve 1/8 mol dioktil oksalat yavaş yavaş karıştırılır. Karışım daha önce hazırlanmış olan sodyum oktilat üzerine ilave edilir. Tamamen çözünme

olana kadar karıştırılır. Sarı-kırmızı renkli bir sıvı elde edildi.

1000 ml.lik bir beherde 400 ml. % 10 luk  $H_2SO_4$  hazırlanır. Buzdolabında soğutulur. Soğutulmuş asit üzereine, daha önce elde edilen karışım ilave edilir. Şiddetle çalkalanır. Ayırma hunisine alınır. Faz ayrılması beklenir. Üstteki faz alınır. 4-5 defa destile su ile yıkınır. Her defasında faz ayrılması beklenir. (Faz ayrılması oldukça uzun sürdü.) Alttaşı sulu faz atılır. Asıl kısım alkollü  $FeCl_3$  çözeltisi ile ön denemeye tabi tutuldu, kan kırmızısı renk verdi. (Keto-enol tautomerisi).

Asıl madde susuz  $Na_2SO_4$  ile kurutuldu. Vakumda destile edilerek madde saflaştırılır. Analize gönderilen örnekler ikinci destilasyondan alınmıştır.

Açılı-pirüvik asit n-oktil esterleri



R	Kapalı Formül	Molekül Tartısı (mm. Hg)	C ve H analizi
			Hesapla %   Bulunan %
CH <sub>3</sub>	C <sub>13</sub> H <sub>22</sub> O <sub>4</sub>	242,32 185(4)	C: 64,43 H: 9,15
CH <sub>3</sub> -CH <sub>2</sub>	C <sub>14</sub> H <sub>24</sub> O <sub>4</sub>	256,34 194-196(4)	C: 65,59 H: 9,43
CH <sub>3</sub> -(CH <sub>2</sub> ) <sub>2</sub>	C <sub>15</sub> H <sub>26</sub> O <sub>4</sub>	270,37 203(3)	C: 66,63 H: 9,69
CH <sub>3</sub> -(CH <sub>2</sub> ) <sub>3</sub>	C <sub>16</sub> H <sub>28</sub> O <sub>4</sub>	284,40 211-214(3)	C: 67,57 H: 9,92
CH <sub>3</sub> -(CH <sub>2</sub> ) <sub>4</sub>	C <sub>17</sub> H <sub>30</sub> O <sub>4</sub>	298,43 221-225(4)	C: 68,42 H: 10,13
CH <sub>3</sub> -(CH <sub>2</sub> ) <sub>5</sub>	C <sub>18</sub> H <sub>32</sub> O <sub>4</sub>	312,45 232-234(3)	C: 69,19 H: 10,32
(CH <sub>3</sub> ) <sub>2</sub> -CH	C <sub>15</sub> H <sub>26</sub> O <sub>4</sub>	270,37 206-210(4)	C: 66,63 H: 9,69
(CH <sub>3</sub> ) <sub>2</sub> -CH-CH <sub>2</sub>	C <sub>16</sub> H <sub>28</sub> O <sub>4</sub>	284,40 220-223(4)	C: 67,57 H: 9,92
C <sub>6</sub> H <sub>5</sub>	C <sub>18</sub> H <sub>24</sub> O <sub>4</sub>	304,39 228-230(4)	C: 71,02 H: 7,94

## BÖLÜM IV

### ESTERLERİN ÖZELLİKLERİİNİN İNCELENMESİ

Elde edilen esterlerin tamamı açık sarı renkte sıvı maddelerdir. Kaynama noktaları 3-4 mm Hg basınçta 185° C ile 234° C arasında değişmektedir.

Keto-Enol tautomerisi göstergeleri nedeniyle, alkollü çözeltileri demir-3-klorür çözeltisi ile kan kırmızısı renginde bir kompleks verirler. Yine enol yapısından ötürü asit karakterindedirler. Alkollü çözeltide fenolftalein indikatörlüğünde 0,1 N sodyum hidroksitle titrasyonlarında eşdeğere yakın alkali sarfedilmiştir.

### IV.I. ESTERLERİN ASIT TİTRASYONLARI

Bir mikro beherde 100-200 mg. ester tartılarak, 10 ml. nötr etanol ile çözündürülür ve fenolftalein indikatörlüğünde N/10 NaOH ile titre edilir.



R	Molekül tartısı	Tartım (mg)	0,1 N NaOH Sarfiyatı	
			Hesap	Bulunan
CH <sub>3</sub>	242,32	120,0	4,95	5,00
CH <sub>3</sub> -CH <sub>2</sub>	256,34	175,4	6,84	6,90
CH <sub>3</sub> -(CH <sub>2</sub> ) <sub>2</sub>	270,37	166,7	6,16	6,35
CH <sub>3</sub> -(CH <sub>2</sub> ) <sub>3</sub>	284,40	188,2	6,61	6,40
CH <sub>3</sub> -(CH <sub>2</sub> ) <sub>4</sub>	298,43	110,2	3,69	3,95
CH <sub>3</sub> -(CH <sub>2</sub> ) <sub>5</sub>	312,45	129,6	4,14	4,00
CH <sub>3</sub>   CH	270,37	76,8	2,84	3,00
CH <sub>3</sub>   CH-CH <sub>2</sub>	284,40	142,8	5,02	5,20
C <sub>6</sub> H <sub>5</sub>	304,39	62,5	2,05	2,20

#### IV.2. ESTERLERİN ENOL TİTRASYONLARI

500 ml.lik şilifli bir erlene 50 ml. etanol, 100 ml. lik bir erlene yaklaşık 0,1 M etanollü brom çözeltisi konur. Her iki erlen -18°C da birkaç saat tutulur. Ester bir mikro beherde tartılır. Soğutulmuş alkolle karıştırılır ve derhal soğutulmuş brom çözeltisi birden ilave edilir. İyice karıştırılır. 10 ml. % 10 luk etanollü β-naftol çözeltisi ilave

edilerek bromun fazlası giderilir. Bütün bu ilaveler 30 sn. den daha az bir zamanda tamamlanmalıdır. Şimdi 30 ml. % 10 luk potasyum iyodür çözeltisi ilave edilir. Kapalı bir dolapta 20 dakika bekletildikten sonra 0,1 N sodyum tiyo sülfat çözeltisi ile indikatörsüz olarak titre edilir.

$$\% \text{ Enol} = \frac{\text{N/10 } \text{Na}_2\text{S}_2\text{O}_3 \text{ sarfiyatı } \times 100 \times \text{molgram}}{\text{Madde miktarı } \times 20}$$

#### Enol titrasyon sonuçları



R	Kapalı formül	Alınan Madde Mik. (mg)	0,1 N Na <sub>2</sub> S <sub>2</sub> O <sub>3</sub> Sarfiyatı	% Enol
CH <sub>3</sub>	C <sub>13</sub> H <sub>22</sub> O <sub>4</sub>	127,2	10,5	100,01
CH <sub>3</sub> - CH <sub>2</sub>	C <sub>14</sub> H <sub>24</sub> O <sub>4</sub>	200,4	15,8	101,04
CH <sub>3</sub> - (CH <sub>2</sub> ) <sub>2</sub>	C <sub>15</sub> H <sub>26</sub> O <sub>4</sub>	182,7	15,4	113,94
CH <sub>3</sub> - (CH <sub>2</sub> ) <sub>3</sub>	C <sub>16</sub> H <sub>28</sub> O <sub>4</sub>	176,5	17,6	141,77
CH <sub>3</sub> - (CH <sub>2</sub> ) <sub>4</sub>	C <sub>17</sub> H <sub>30</sub> O <sub>4</sub>	140,2	12,9	137,28
CH <sub>3</sub> - (CH <sub>2</sub> ) <sub>5</sub>	C <sub>18</sub> H <sub>32</sub> O <sub>4</sub>	178,6	14,4	125,93
CH <sub>3</sub> > CH CH <sub>3</sub>	C <sub>15</sub> H <sub>26</sub> O <sub>4</sub>	68,4	5,3	104,73
CH <sub>3</sub> > CH - CH <sub>2</sub> CH <sub>3</sub>	C <sub>16</sub> H <sub>28</sub> O <sub>4</sub>	152,0	14,3	133,77
C <sub>6</sub> H <sub>5</sub>	C <sub>18</sub> H <sub>24</sub> O <sub>4</sub>	75,7	4,4	88,46

### IV.3. AÇIL-PIRÜVİK ASİT N-OKTİL ESTERLERİNİN KIRILMA İNDİSLERİ

Kırılma indisleri  $40^{\circ}\text{C}$  da tayin edilmiştir. Ayri-ca 1/8 mol oksalik asit di n-oktil esterinden elde madde-lerin miktarları ve verim yüzdesi de aşağıdaki tabloda verilmiştir.

R	Kapalı Formül	Molekül Tartısı	$n_{\text{D}}^{40}$	1/8 molden elde edilen madde mik.	
				Gram	% Verim
CH <sub>3</sub>	C <sub>13</sub> H <sub>22</sub> O <sub>4</sub>	242,32	1,4360	21,78	72
CH <sub>3</sub> -CH <sub>2</sub>	C <sub>14</sub> H <sub>24</sub> O <sub>4</sub>	256,34	1,4380	17,61	55
CH <sub>3</sub> - (CH <sub>2</sub> ) <sub>2</sub>	C <sub>15</sub> H <sub>26</sub> O <sub>4</sub>	270,37	1,4382	14,19	42
CH <sub>3</sub> - (CH <sub>2</sub> ) <sub>3</sub>	C <sub>16</sub> H <sub>28</sub> O <sub>4</sub>	284,40	1,4386	21,31	60
CH <sub>3</sub> - (CH <sub>2</sub> ) <sub>4</sub>	C <sub>17</sub> H <sub>30</sub> O <sub>4</sub>	298,43	1,4392	16,41	44
CH <sub>3</sub> - (CH <sub>2</sub> ) <sub>5</sub>	C <sub>18</sub> H <sub>32</sub> O <sub>4</sub>	312,45	1,4400	20,30	52
(CH <sub>3</sub> ) <sub>2</sub> -CH	C <sub>15</sub> H <sub>26</sub> O <sub>4</sub>	270,37	1,4364	8,45	25
(CH <sub>3</sub> ) <sub>2</sub> CH-CH <sub>2</sub>	C <sub>16</sub> H <sub>28</sub> O <sub>4</sub>	284,40	1,4368	19,89	56
C <sub>6</sub> H <sub>5</sub>	C <sub>18</sub> H <sub>24</sub> O <sub>4</sub>	304,39	1,4480	7,61	20

## BÖLÜM V

### BU ÇALIŞMADA KULLANILAN CİHAZLAR VE SPEKTROGRAMLARIN YORUMLANMASI:

#### V.I. IR SPEKTROSKOPİSİ

Organik bileşikler infrared bölgede elektromanyetik enerjiyi absorblarlar. Infrared ışını elektronu uyarılmış hale geçirmek için gerekli olan enerjiye sahip olmamasına karşın, bir organik bileşiğin atom yada atom gruplarını, bu atomları birbirine bağlayan kovalent bağ etrafında titreştitir. Bu titreşim enerjisi kuantlaşmıştır.

Titreşimsel absorbsiyonda, kovalent bağlar sanki elastikmiş gibi yani atomlar birbirine ince yaylarla bağlanmış gibidirler. Bu titreşim hareketleri, ancak belirli frekanslarda olur. Bu nedenle kovalent bağlı atomlar kendilerine özgü titreşim enerji seviyelerine sahiptirler ve molekülün bir titreşim enerji seviyesinden diğerine geçisi sadece, bileşik belirli bir dalga boyundaki yada frekans-taki IR ışınınını absorbladığı zaman gerçekleşir.

Bir sistemin iki önemli titreşimi vardır:

1. Gerilme titreşimi: İki atom arasındaki uzaklığın kısalması veya uzaması şeklinde olan titreşimdir. Bu sırada bağ açısı sabittir. Simetrik ve asimetrik gerilme olarak iki türlüdür.

2. Eğilme titreşimi: Bağ açılarının değişimi şeklinde oluşan titreşimdir. Buda düzlem içinde oluşan deformasyon ve düzlem dışına taşan deformasyon olarak iki türlüdür.

Eğilme titreşimleri genel olarak daha az enerji gerektirir. Buda daha kısa dalga sayısında (uzun dalga boyu) absorbsiyon vermeleri demektir.

Absorbsiyonun frekansı bağıın kuvvet sabitine ve atomların kütlesine bağlıdır. Yani,

$$\nu = \frac{1}{2\pi C} \sqrt{\frac{K}{\mu r}}$$

K = Bağıın kuvvet sabiti

$\mu r$  = indirgenmiş kütle

$$\mu r = \frac{M_1 M_2}{M_1 + M_2}$$

C = Işık hızı

$\nu$  = Gerilme frekansı ( $\text{cm}^{-1}$ )  
(dalga sayısı)

Gerilme titreşimleri bağıın sağlamlığına bağlı olarak değiştiğinden ve üçlü bağ > çift bağ > tek bağ sağlamlık sırası olduğundan, üçlü bağ, çift ve tek bağa kıyasla daha büyük dalga sayısında absorbsiyon verir, yani absorbsiyon için daha büyük enerji gerekmektedir.

Çok basit moleküllerin IR spektrumlarında bile oldukça fazla sayıda absorbsiyon pikleri vardır. Lineer olmayan ve (n) sayıda atom içeren bir molekül ( $3n-6$ ) değişik

titreşim yapıp IR ışını absorbe edebilir. Örneğin metan,  $3 \times 5 - 6 = 9$  değişik absorbsiyon yapabilir. Fakat IR absorbsiyonu olabilmesi için titreşim esnasında molekülün dipol momentinde değişiklik olmalıdır. Yani metan molekülüün 4 protonu simetrik olarak titreştikleri zaman dipol momentte değişiklik olmaz. Dolayısıyla metanın bu titreşimi IR absorbsiyonu vermez. Benzer olarak etilen (-C=C-) ve asetilenin (-C≡C-) bağlarının simetrik titreşimi sonucunda bu bileşikler de IR absorbsiyonu vermezler.

Lineer olmayan moleküllerde ( $3n-6$ ) adet absorbsiyon pikinin oluşacağı söylenmiştir. Gerçekte durum böyle değildir. Bazı piklerin üst üste çakışması, dipol momentin değişmediği titreşimler nedeni ile teorik olarak hesaplanan bazı adsorbsiyonları verememesi gibi nedenlerle, spektrumdaki pik sayısı olması gerekenden oldukça azdır. Fakat bunun yanında esas absorbsiyon piklerinin "overton"ları da IR spektrumunda görülürler, fakat şiddetleri oldukça azdır.

IR spektrumu numuneyi IR ışık kaynağı ile alici arasına koyup, çeşitli dalga boyalarındaki relatif absorbsiyonun kaydedilmesi ile ele geçer. Bunun için çift kaynaklı spektrofotometre kullanılır.

Işık kaynağı olarak kızdırılmış inert maddelerin (Zr, Y, Er) oksitleri veya SiC kullanılır.

Katı, likid ve gaz örneklerin spektrumlarını almak mümkündür. Likid maddelerin spektrumlarının alınmasında numune taşıyıcı olarak quartz ve cam kullanılmaz. Çünkü, iyice zayıflamış olan IR ışını cam yada kuartz tarafından absorblanır ve örnek üzerine ulaşamaz. Bu nedenle numune taşıyıcı olarak genellikle NaCl ve KCl kullanılır. Gazlar

için özel hücreler kullanılır. Katı numuneler ya Nujol (Mineral yağı) ile karıştırılarak NaCl diskleri arasına konur, yada KBr ile tablet haline getirilir.

IR spektrofotometresi ile kantitatif tayin yapmaka- ta mümkündür.

IR spektroskopisinin kullanıldığı yerler:

- a) Tanımlama ve yapı tayini,
- b) Saflık tayini ve kantitatif tayinler,
- c) Kimyasal reaksiyonların takibi,
- d) Hidrojen bağlarının incelenmesi,
- e) Molekül geometrisi ve konformasyonel analiz,
- f) Reaktif taneciklerin incelenmesinde kullanılır.

## V.2. NMR SPEKTROSKOPİSİ

Hidrojen çekirdeği yada proton manyetik özelliğe sahiptir. Hidrojen taşıyan bir bileşik kuvvetli bir manyetik alana konduğu zaman, manyetik alandan etkilenir ve elektromanyetik enerjiyi absorblar. Absorblanan bu enerji kuantizedir. Bu enerji absorbsiyonu, ancak manyetik alanın şiddeti ve elektromanyetik radyasyonun frekansı belli bir değere ulaştığında gerçekleşir.

NMR Spektrometresi diye bilinen alet, hidrojen çekirdeği tarafından absorblanan enerjinin ölçülmesi için kullanılır. Bu cihazda çok güçlü miknatıslar ve radyo dalgaları bölgesinde elektromanyetik ışınım yapan maddeler kullanılır. Madde üzerine sabit frekansta elektromanyetik

enerji gönderilirken manyetik alanın şiddeti arttırılmaktadır. Manyetik alan belli bir değere ulaştığında çekirdek enerjiyi absorblar ve rezonans gerçekleşir.

Hidrojen çekirdeği etrafında elektronlar vardır ve hidrojen çekirdeği bu elektronlardan ve komşu protonlardan etkilenmektedir. Bir organik bileşikteki bazı protonlar değerlerinden daha fazla elektron bulutu ile örtülmüştür. Bu nedenle bu organik bileşiğin protonları enerjiyi farklı şekilde absorblarlar. Yani absorbsiyonun gerçekleştiği manyetik alan şiddeti, her proton için farklıdır. Bunun nedeni de protonların manyetik çevrelerinin farklı olmasıdır.

Bir çekirdeğin NMR'de sinyal verebilmesi için, spin numarası ( $I \neq 0$ ) olmalıdır.

<u>Atomun kütlesi</u>	<u>Atom No</u>	<u>Cekirdek Spin Sayısı (<math>I</math>)</u>
Tek	Tek veya çift	$1/2, 3/2, 5/2 \dots$
Çift	Çift	0
Çift	Tek	1, 2, 3

şeklindedir.

Hidrojen çekirdeği bir tek proton taşıır ve bu protonda yukarıda söz edildiği gibi döner. Bu dönme de bir manyetik alan doğruru. Bu manyetik alanın ekseni dönme ekseni ile aynıdır. Böylece  $I \neq 0$  olan çekirdekler küçük birer miknatıslar gibi kabul edilebilirler. Dönen bu çekirdek dış bir manyetik alan ( $H$ ) içine konduğu zaman aynen jiroskop gibi davranır, yani çekirdeğin spin ekseni manyetik alan ekseni etrafında döner. Meydana gelen  $\theta$  açısının büyüklüğü (yani

açışal hız)  $H_0$ 'ın şiddeti ile orantılıdır.

$$\nu = \frac{W_L}{2\pi} = \frac{H}{2\pi}$$

$\nu$  = Frekans (Hz)

$W_L$  = Çekirdeğin manyetik  
momenti

$H_0$  = Manyetik alan şiddeti

$\gamma$  = Jiromanyetik oran

Bu ( $\nu$ ) frekansa tekabül eden enerjinin absorbsiyonunu sonucunda rezonans gerçekleşir ve spin yön değiştirir, yani düşük enerjili durumdan yüksek enerjili duruma geçer ve NMR da bir pik kaydedilir. Protonun spini manyetik alana aynı yönde olduğu zaman enerjisi düşük, manyetik alana karşı olduğu zaman daha büyüktür. Bu enerji absorbsiyonu numune tüpü etrafında sarılı olan telde elektriksel değişim yapar. Bu değişim amplifiye edilerek grafik kâğıdına tesbit edilir. Yani absorblanan enerji, değişen manyetik alan şiddetine göre çizilmiş olur.

**Kimyasal kayma:** Çekirdeğin hangi frekansta enerji absorbbe edeceği, uygulanan manyetik alanın proton tarafından hissedilişine bağlıdır. Proton tarafından hissedilen manyetik alanın şiddeti, uygulanan alan şiddettinin tamamen aynısı değildir. Hissedilen manyetik alan, çekirdeğin etrafındaki elektron bulutu tarafından etkilenmektedir. Elektron bulutu sanki çekirdeği örtmüş gibi etki göstermektedir. Bunun nedeni, manyetik alanda elektronlarında dönmesi ve bunun sonucu olarak uygulanan manyetik alana ters yönde bir manyetik alan oluşmasıdır. (İndüklenmiş manyetik alan) Buda uygulanan manyetik alanın proton tarafından daha az şiddette hissedilmesi demektir. Bu durumda proton örtülüdür denir. Örtme şiddeti ne kadar fazla ise, rezonansı sağlamak için daha büyük dış manyetik alan uyu-

lamak gereklidir. Yani NMR spektrumunda absorpsiyon piki daha büyük  $H_0$  değerlerinde olacaktır. Neticede elektron yoğunluğu farklı olan protonlar değişik şiddette manyetik alan absorbe ederler. Bu bir referans maddeye göre ayarlanır. Referans madde genellikle  $(CH_3)_4Si$ -Tetrametil silandır. Bu maddenin seçiliş nedeni, protonlarının bir çok organik bileşiğin protonlarına kıyasla oldukça fazla örtülmüş olması dolayısıyla absorpsiyon sinyali oldukça büyük manyetik alan şiddetinde olur.

$$(\text{Kımyasal kayma}) (\delta) = \frac{\text{Gözlenen kımyasal kayma}}{\text{Kullanılan radyo frekansı}} \times 10^6$$

$$\delta = \text{ppm}$$

Spin-spin yarılmazı: Bir proton üzerine en önemli etki uygulanan dış alan ve kımyasal bağın çevresidir. Ancak molekülde yakın atomlara bağlı protonların manyetik etkileride protonun NMR sinyalini etkiler. Bu etki bağ elektronları ile geçirilir.

Örnek olarak  $CH_3-CH_2-Cl$  yi alırsak, burada  $CH_3$  hidrojenleri C-C bağının çevresel etkisinde,  $CH_2$  hidrojenleri ise C-C ve C-Cl bağının çevresel etkisindedir, yani iki çeşit proton olduğundan 2 NMR sinyali elde edilir. Bu sinyaller tek olmayıp yakın gruplar halindedir. Elde edilen sinyaller  $CH_3$  protonlarının  $CH_3$  protonları üzerine ve  $CH_2$  protonlarının  $CH_2$  protonları üzerine etkisini yansıtır. Bu olaya spin-spin yarılmazı denir. Bu olay komşu protonun etkisi ile meydana gelir.

Bir grup protonun verdiği sinyal, komşu ( $n$ ) proton tarafından ( $n + 1$ ) parçaya ayrılarak ( $n + 1$ ) sinyal verir.

Oluşan spin-spin yarılmalarının şiddeti Binom katsayıları gibidir.  $(R + 1)^n$ . Aynı (C) atomuna bağlı hidrojenler bir-birini etkilemez (parçalamaz).

Ayrıca eşdeğer hidrojenlerde de bu görülmez.

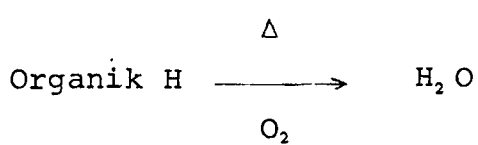
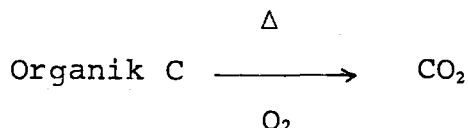
Örnek: Cl - CH<sub>2</sub> - CH<sub>2</sub> - Cl

NMR'ın Kullanım Alanları:

- a) Geometrik izomeriler,
- b) Proton değişim hızı,
- c) Hidrojen bağı,
- d) Aromatiklik tayini,
- e) Kantitatif analiz,
- f) Farmakimyasal analizler.

### V.3. KARBON VE HİDROJENİN MİKRO TAYINI

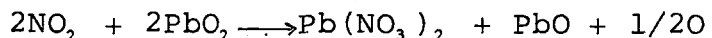
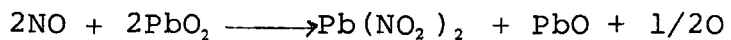
Organik bileşikler oksijen atmosferinde yakıldıkları zaman bünyelerindeki C ve H, CO ve H O'ya dönüşür.



Yanmadan oluşan su, susuz mağnezyum perklorat (Anhydrone) tarafından, CO<sub>2</sub> ise sodyum asbest ile tutulur.

Yani CO<sub>2</sub> ve H<sub>2</sub>O gravimetrik olarak tayin edilir.

Genellikle yakma tüpüne şu maddeler konur: gümüş, kurşunperoksit, kurşun kromat, bakır oksit, platin, altın. Gümüşün konulmasının amacı Cl<sub>2</sub>, Br<sub>2</sub>, I<sub>2</sub> ve kükürt oksitleri tutmaktadır. Platin halkalı sistemlerin yakılmasında yardımıcı olur. Bakıroksit-kurşun kromat karışımı oksidan olarak hareket eder. Kurşunperoksit ise NO ve NO<sub>2</sub> gibi azot oksitleriyle reaksiyona girer.



#### V.4. IR SPEKTROGRAMININ YORUMLANMASI

Spektrumlar çekilirken madde konsentrasyonu iyi ayarlanamamış, çoğunla madde miktarı fazla geldiğinden pikler yuvarlanmış ve dolayısıyla tam parçalanmalar görülmektedir. Normal olarak bütün maddeler, eşit konsentrasyonda ve NaCl diskleri yerine, NaCl hücrelerinde çekilmesi gereklidir.

Elde edilen ürünlerin yapısı birbirine çok yakın (IR için) olduğundan, yani alifatik -CH gruplarının karakteristik pikleri N 2900 cm<sup>-1</sup> dolaylarında çıkmaktadır. Büttün maddelerde hemen hemen aynı yapı olduğundan (sadece bir -CH<sub>2</sub>, farkı var) homolog sırayı tayin etmek mümkün olmamaktadır.

Bu ters faktörlere rağmen karakteristik pikleri (Karbonil, alifatik CH, keto ester v.s) incelemek mümkün.

Spektrumların çoğunda pek belirgin olmamakla birlikte N 3500 cm<sup>-1</sup> de (-OH) pik'i görülmektedir. (1.3.5.6). Bu pik çözücüden, NaCl kristalinden, havanın neminden, yada incelenen esterin enol yapısından gelmiş olabilir. Büyüklük bir ihtiyalle enolden gelmiştir.

N 2860 - 2960 cm<sup>-1</sup> deki pikler alifatik -CH gruplarını,

N 1470 cm<sup>-1</sup> deki pik -CH<sub>2</sub> gruplarını,

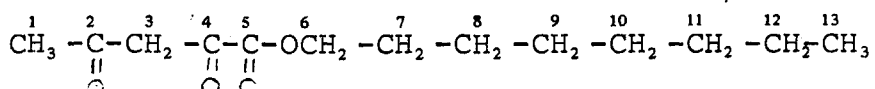
N 1370-1380 cm<sup>-1</sup> deki pik -CH<sub>3</sub> gruplarını,

N 1740-1760 cm<sup>-1</sup> deki pikler ise keto-ester karbonilini kanıtlamaktadır.

## V.5. NMR SPEKTROGRAMININ YORUMLANMASI

IR spektrumlarına göre, NMR spektrumları daha iyi çekildiğinden, maddelerdeki karakteristik grupları ve homolog sırayı takip etmek daha kolaylaşmaktadır.

Bir numaralı spektrumu örnek alıp, diğerlerini de buna göre inceleyeceğiz;



(Düzelme: TMS N 0,5 olduğundan, değerlendirmede TMS sıfıra kaydırılmış ve tüm değerler buna göre ayarlanmıştır, 7).

$\delta$  N 6,3 de çözücü olarak kullanılan  $\text{CDCl}_3$  den gelen pik,

N 4,3 de  $-\text{OCH}_2$  grubunun protonları (6)

N 2,2 de  $-\overset{\text{||}}{\underset{\text{O}}{\text{C}}}-\text{CH}_3$  grubunun protonları (1)

N 1,5 ve 1,3 de  $-(\text{CH}_2)$  gruplarının protonları (7-12)

N 0,8 de  $-\text{CH}_3$  grubunun protonlarının (13) verdiği pikler görülmektedir.

Bütün maddelerde  $(-\text{OCH}_2)$  grubu olduğundan spektrumların hepsinde  $\delta$ -4,3 ppm de bir triplet görülmektedir. Burada komşu  $(-\text{CH}_2)$  grubunun etkisiyle üçe parçalandığı için triplet vermektedir.

İki numaralı spektrumda N 2,2 ppm deki  $(-\text{CH}_3)$  grubunun oluşturduğu pik'in parçalandığını görüyoruz. Buda yapıya yeni bir  $(-\text{CH}_2)$  grubunun girdiğini göstermektedir. Fakat giren  $(-\text{CH}_2)$  grupları artık N 1,3 ppm de absorbsiyon vereceklerinden, 7,8,9,10,11,12 nolu (C) atomlarına bağlı protonların absorbsiyonu ile üst üste çakışmaktadır. Yani yeni giren  $(-\text{CH}_2)$  gruplarını spektrumda ayrı bir yerde görme olanağı ortadan kalkmaktadır.

Üç, dört ve beş numaralı -espektrumlarda 2,2 ppm deki  $(-\overset{\text{||}}{\underset{\text{O}}{\text{C}}}-\text{CH}_3)$  absorbsiyonu gittikçe zayıflamakta altı numaralı spektrumda hemen hemen hiç kalmamaktadır. Buda  $(-\text{CH}_3)$  grubunun giderek karbonil grubundan uzaklaştığını göstermektedir. Üç, dört ve beş nolu maddelerdeki substitüentlerin  $(-\text{CH}_3)$  gruplarında artık 13 nolu  $(-\text{CH}_3)$  grubu ile artık

aynı yerde yani N 0,8 ppm de çıkmaktadır.

Fakat giderek 2,2 ppm deki (-CH<sub>3</sub>) grubunun absorbşyonunun kaybolması araya (-CH<sub>2</sub>) gruplarının girdiğinin kanıtıdır.

İB olarak gösterilen izobütil grubu bulunan madde-nin spektrumundaki 1,0 ppm deki pik (-CH<sub>3</sub>) grubunun, diğer maddelerdeki (-CH<sub>2</sub>) gruplarından farklı yarılmıştır. Bu da -CH(CH<sub>3</sub>) grubundaki (-CH<sub>3</sub>) gruplarından gelmektedir. N 2,15 ppm de ise (-CH) grubunun protonu yer almaktadır.

## BÖLÜM VI

### SÖNÜC

Çalışmanın başlangıcında amaçlanan,  $\alpha,\gamma$ -diketo asitlerin oktil esterlerini sentez etmekte. Uygulanacak yöntemde Claisen Kondensasyonu olarak belirlenmişti. Çalışmanın akışı içinde önemli bir problem oluşmadı. Başlangıç maddeleri olan Na-Oktillat elde edilirken, oktil alkol sodyumla oldukça yavaş reaksiyona girdi. Diğer başlangıç maddesi olan oksalik asit di n-oktil esteri elde edilirken, reaksiyon sonunda  $\text{NaHCO}_3$  ile yıkama esnasında fazlar birbirinden oldukça güç ayrıldı. Bunun dışında vakumda oldukça rahat bir şekilde destillendi ve oksalik asit di n-oktil esteri çok kolay saflaştırıldı.

Elde edilmeleri istenen esterlerin Claisen Kondensasyonu uygulaması esnasında, seyreltik asitle yapılan işleminden sonra faz ayrılması problemi burada da ortaya çıktı. Ayrıca esterlerin saflaştırılmasında vakum destilasyonu uygulamasında vakumu tutturmanın gücü yanında, oluşan yüksek sıcaklıklarda, destilasyon sonuna doğru maddeler bozundu. Dolayısıyle verim beklenenden düşük çıktı.

Elde edilen esterlerin, gerçekten elde edilmesi istenen esterler olup olmadığı büyük bir titizlikle incelendi. Öncelikle ön deneme olarak, alkollü ortamda FeCl<sub>3</sub> ile reaksiyon sonunda kan kırmızısı renk oluştu. Sonra bakır, semi karbözit ve 2,4-di nitro fenil hidrazinle ön deneme yapıldı. Bulunması gereken enol bileşikleri için sodyum hidroksit sarfiyatları ölçüldü ve enol yüzdeleri belirlendi. Enol yüzdelerinin % 100'ün üzerinde çıkması di keto grubunun oluştuğuna en büyük işaretti.

Bu olumlu sonuçlardan sonra esterlerin elementer analizleri yaptırıldı. Bulunan karbon ve hidrojen yüzdeleri beklenen muhtemel formülleri gerçekledi.

Nihayet spektrogramları ve yorumları da verilen IR ve NMR analizleri, operatör hatalarına rağmen karakteristik grupları oldukça açık bir şekilde kanıtladı.

Sonuç olarak Claisen Kondensasyonu ile ilk defa bu kadar yüksek moleküllü diketo esterlerin elde edilebileceği kanıtlanmış oldu.

## L I T E R A T Ü R

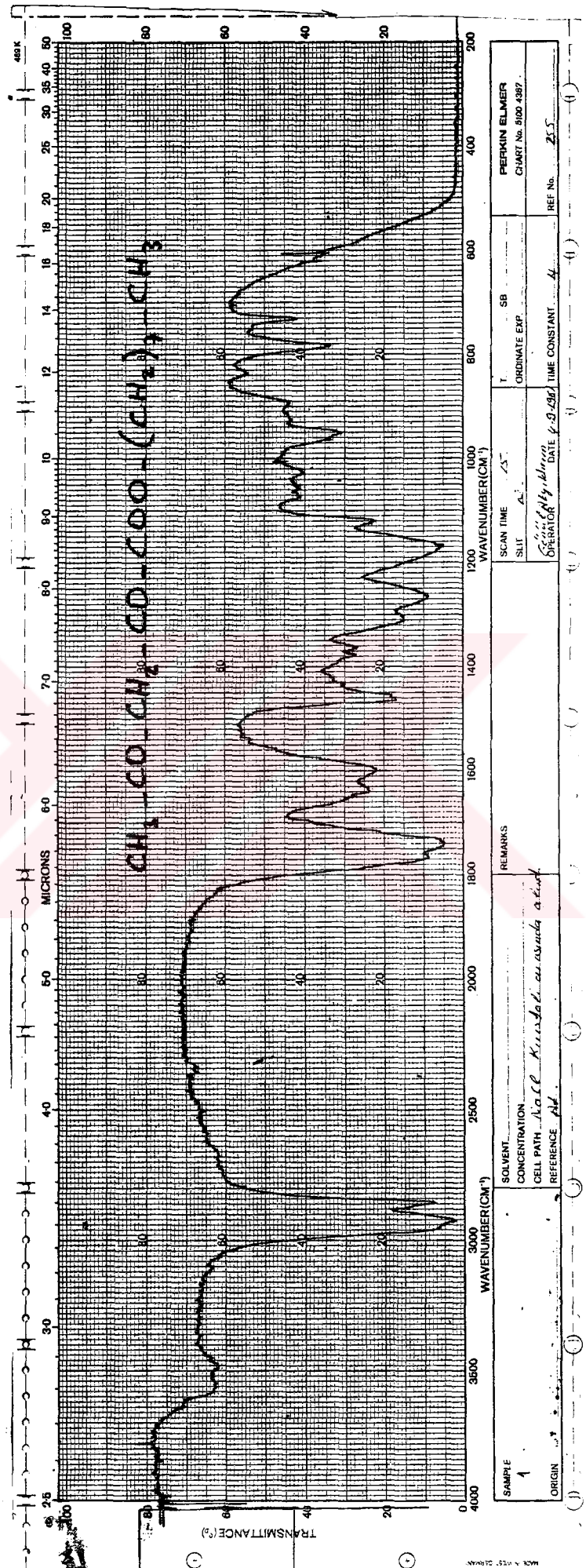
1. Breusch, F.L. ve Keskin, H., Enzimologia ll. (1943) 356.
2. Keskin, H. ve Erkmen, G., Rev. Sci. Univ. İst. C. 30 (1965) 1.
3. Keskin, H. ve Yanço, V., Rev. Sci. Univ. İst. C. 31 (1966), 147.
4. Keskin, H. ve Onural, Y., Rev. Sci. Univ. İst. C. 34 (1969) 95.
5. Keskin, H. ve Safgönül, V., Chim. Ac. Turc., Vol. 5, No. 1, P. 7-25 (1977).
6. Meyer, K.H., B. 44, (1911) 2720.
7. Ward, C.H., Chem. Ed. 39, (1962) 96.
8. Scheiber, J. ve Hereld, P., Liebigs Am. Chem. 405, (1914), 319.
9. Dieckman, W., B. 53, (1920) 1718.
10. Vogel, A.I., Soc. (1948) 631.
11. Naff, M. Benton ve Naff, Anna S., Chem. Ed. 44, (1967) 680.
12. Silverstein, R.M., Bassler, G.C., Morris, T.C., Spectro-metric Identification of organic compounds, (1981).

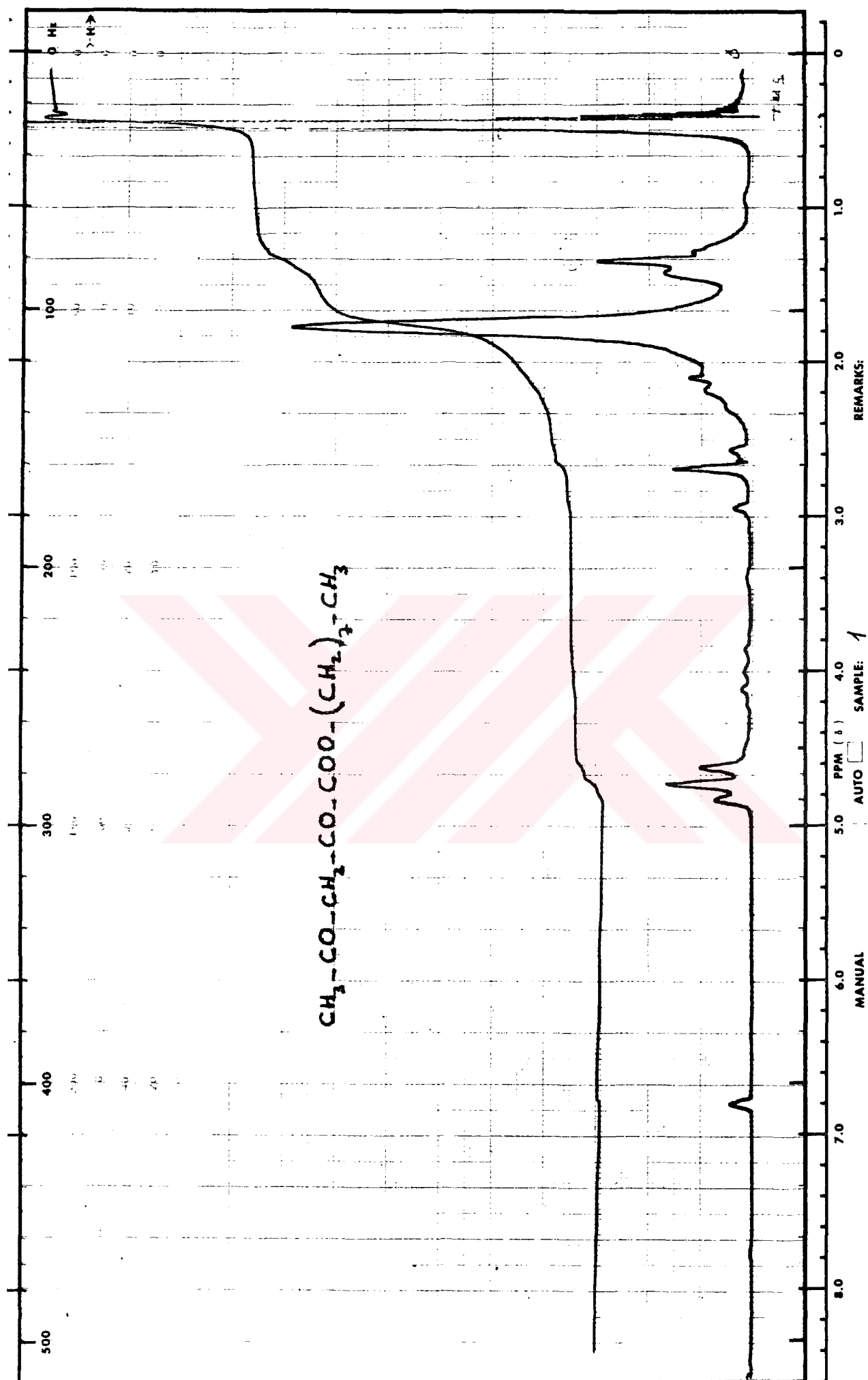
13. Solomons, Graham T.W., *Organic Chemistry*, (1976).
14. Deyer, John R., *Applications of absorbtion spectroscopy of organic compounds*, (1965).
15. Steyemark, A., *Quantitative organic microanalysis*, (1961).

## Ö Z G E Ç M İ S

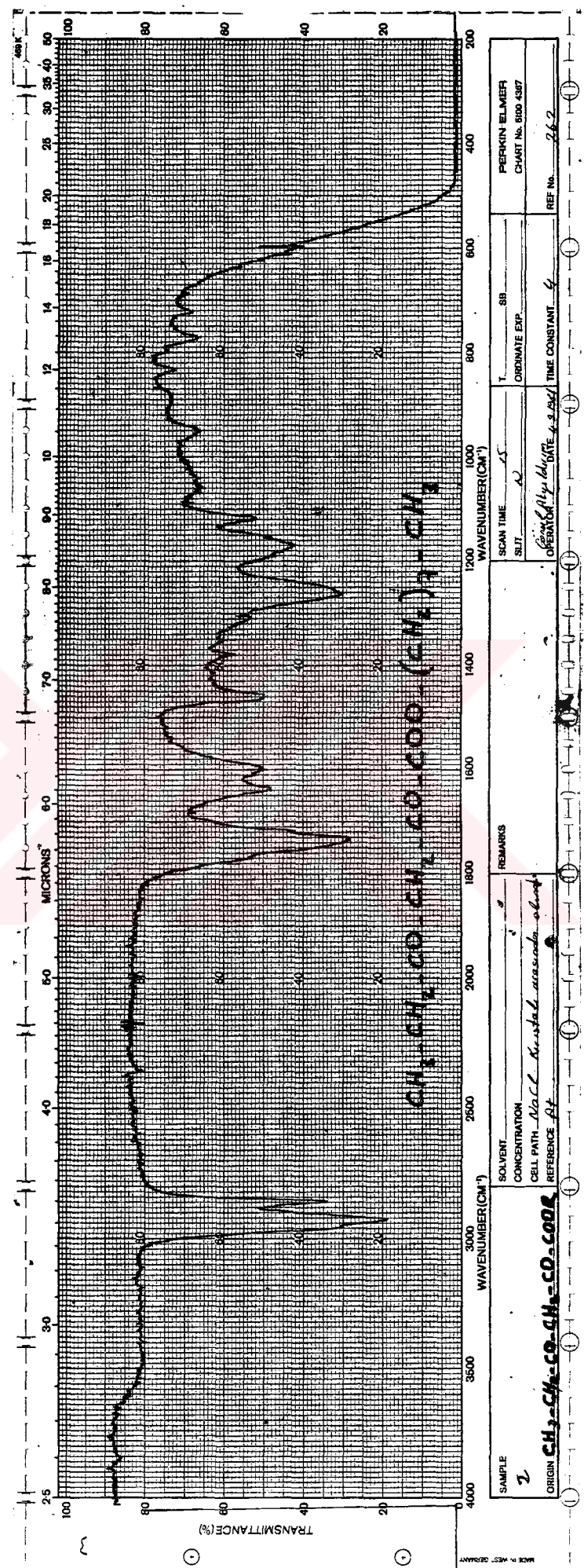
1948 yılında Samsun ili Vezirköprü ilçesinde doğdum. İlk ve ortaokulu Vezirköprü'de, lise öğrenimini İstanbul Kabataş Erkek Lisesinde tamamladım. 1972 Haziran döneminde İ.Ü. Kimya Fakültesi Kimya Yüksek Mühendisliği Bölümünü bitirdim.

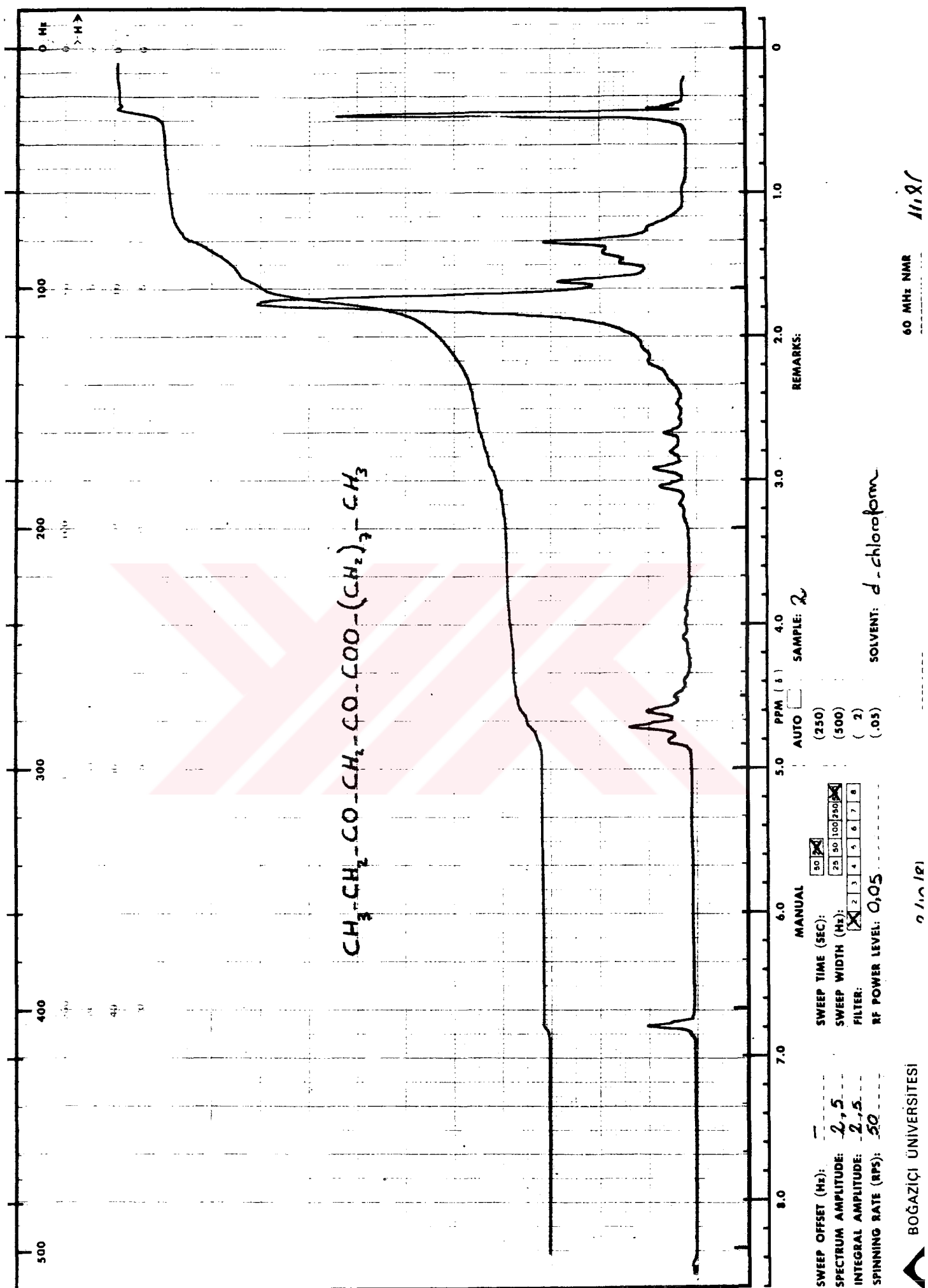
İ.D.M.M.Akademisi Galatasaray Mühendislik Yüksek Okulu'nun açmış olduğu asistanlık sınavını kazanarak Kasım 1972'den Mayıs 1978 yılına kadar bu okulda Anorganik ve Organik Sinai Kimya asistanı olarak sözleşmeli statüde çalıştım. Mayıs 1978'de Kocaeli D.M.M. Akademisinin açmış olduğu sınavı kazanarak Genel Kimya Kürsüsünde asistan olarak çalışmaya başladım. Kasım 1981 de K.D.M.M. Akademisi Temel Bilimler Fakültesi Kimya Kürsüsünün açmış olduğu öğretim görevliliği sınavını kazandım. Halen bu görevi sürdürmekteyim.

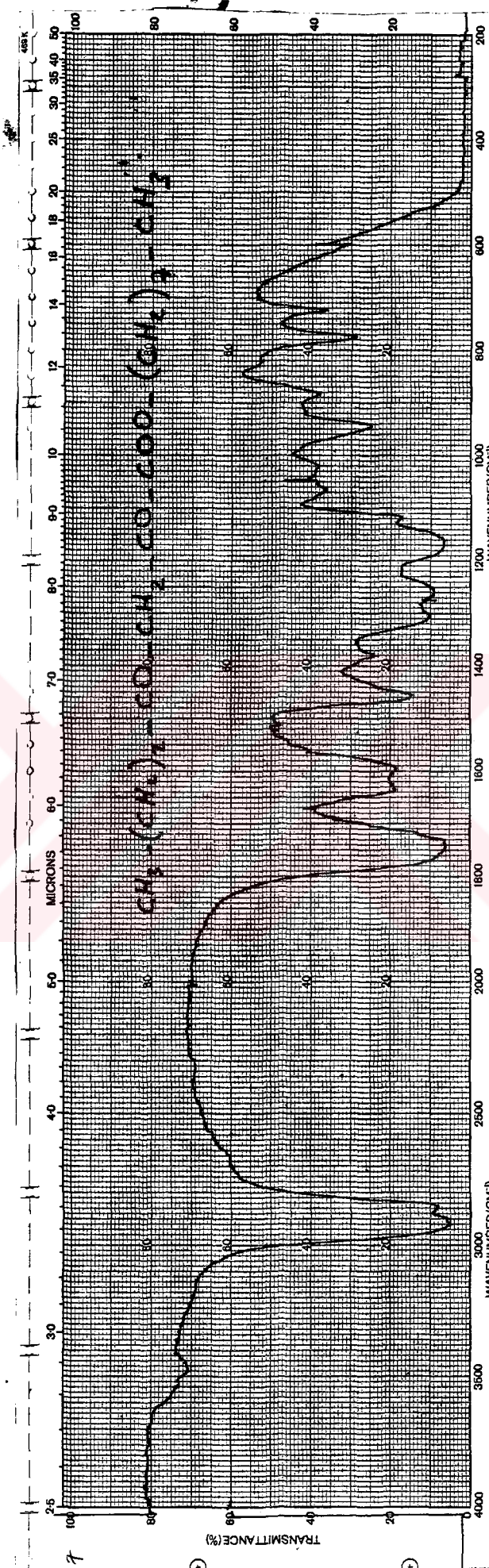




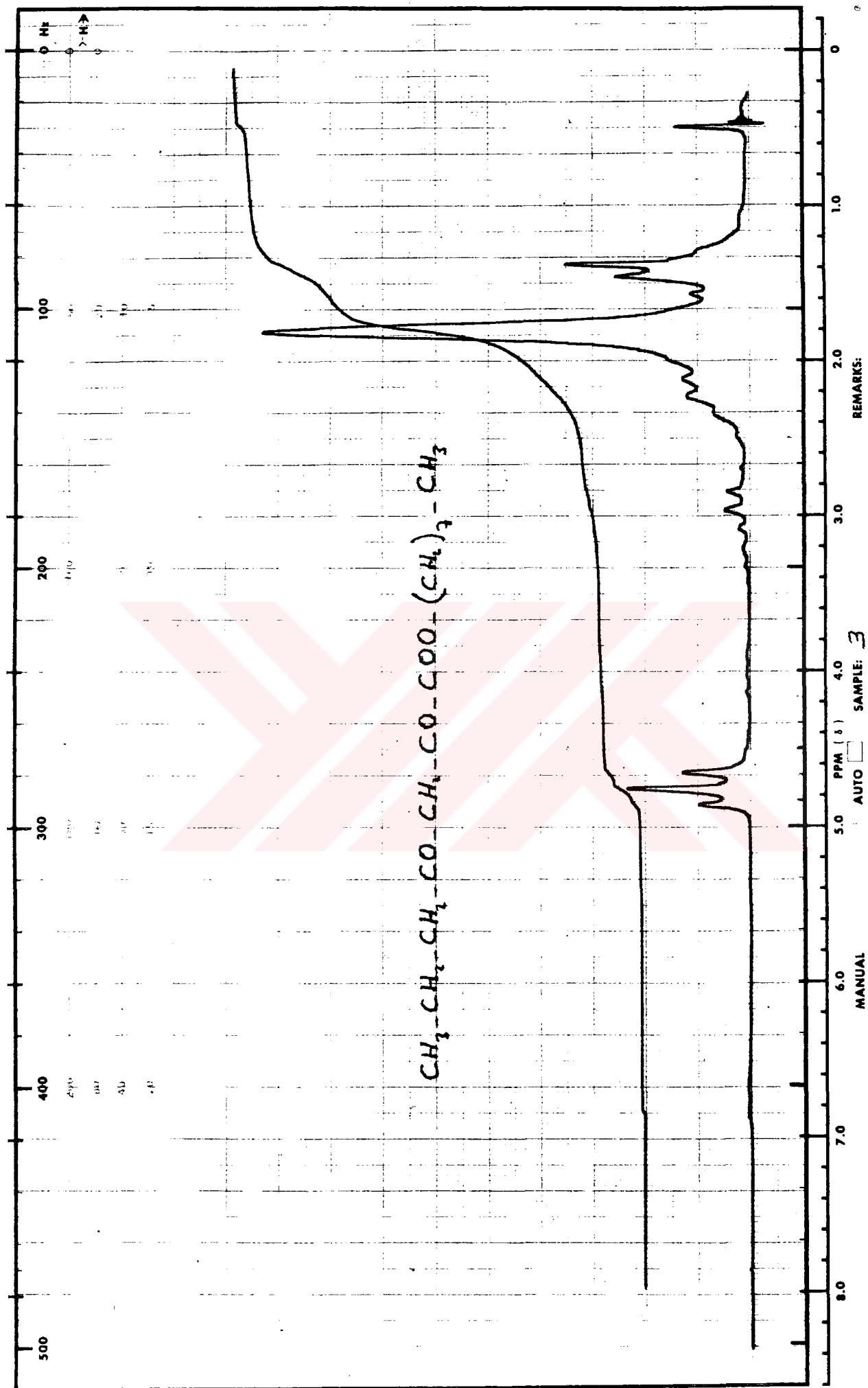
SWEEP OFFSET (Hz):  50 (250)  
 SPECTRUM AMPLITUDE:  4 (500)  
 INTEGRAL AMPLITUDE:  4  
 SPINNING RATE (RPS):  50 (0.05)  
 MANUAL   
 SAMPLE: 1  
 SWEEP TIME (SEC):  25 (25)  
 SWEEP WIDTH (Hz):  25-50 (0.0250)  
 FILTER:  2 3 4 5 6 7 8 (2)  
 RF POWER LEVEL: 0.05 (.05)  
 REMARKS:  
 SOLVENT: *d*-chloroform







SAMPLE	3	REMARKS	PERKIN ELMER	
CONCENTRATION			CHART No. 8100 4887	
CELL PATH.	1 mm		REF. No. 2336	
REFERENCE	Air			
ORIGIN				
SLIT	10		OPERATOR & DATE	26-2-1981
SCAN TIME	10		TIME CONSTANT	4
ORDINATE EXP.			REF. NO.	4



REMARKS:

SAMPLE: 3

MANUAL

AUTO

C

D

E

F

G

H

I

J

K

L

M

N

O

P

Q

R

S

T

U

V

W

X

Y

Z

AA

BB

CC

DD

EE

FF

GG

HH

II

JJ

KK

LL

MM

NN

OO

PP

QQ

RR

SS

TT

UU

VV

WW

XX

YY

ZZ

AA

BB

CC

DD

EE

FF

GG

HH

II

JJ

KK

LL

MM

NN

OO

PP

QQ

RR

SS

TT

UU

VV

WW

XX

YY

AA

BB

CC

DD

EE

FF

GG

HH

II

JJ

KK

LL

MM

NN

OO

PP

QQ

RR

SS

TT

UU

VV

WW

XX

YY

AA

BB

CC

DD

EE

FF

GG

HH

II

JJ

KK

LL

MM

NN

OO

PP

QQ

RR

SS

TT

UU

VV

WW

XX

YY

AA

BB

CC

DD

EE

FF

GG

HH

II

JJ

KK

LL

MM

NN

OO

PP

QQ

RR

SS

TT

UU

VV

WW

XX

YY

AA

BB

CC

DD

EE

FF

GG

HH

II

JJ

KK

LL

MM

NN

OO

PP

QQ

RR

SS

TT

UU

VV

WW

XX

YY

AA

BB

CC

DD

EE

FF

GG

HH

II

JJ

KK

LL

MM

NN

OO

PP

QQ

RR

SS

TT

UU

VV

WW

XX

YY

AA

BB

CC

DD

EE

FF

GG

HH

II

JJ

KK

LL

MM

NN

OO

PP

QQ

RR

SS

TT

UU

VV

WW

XX

YY

AA

BB

CC

DD

EE

FF

GG

HH

II

JJ

KK

LL

MM

NN

OO

PP

QQ

RR

SS

TT

UU

VV

WW

XX

YY

AA

BB

CC

DD

EE

FF

GG

HH

II

JJ

KK

LL

MM

NN

OO

PP

QQ

RR

SS

TT

UU

VV

WW

XX

YY

AA

BB

CC

DD

EE

FF

GG

HH

II

JJ

KK

LL

MM

NN

OO

PP

QQ

RR

SS

TT

UU

VV

WW

XX

YY

AA

BB

CC

DD

EE

FF

GG

HH

II

JJ

KK

LL

MM

NN

OO

PP

QQ

RR

SS

TT

UU

VV

WW

XX

YY

AA

BB

CC

DD

EE

FF

GG

HH

II

JJ

KK

LL

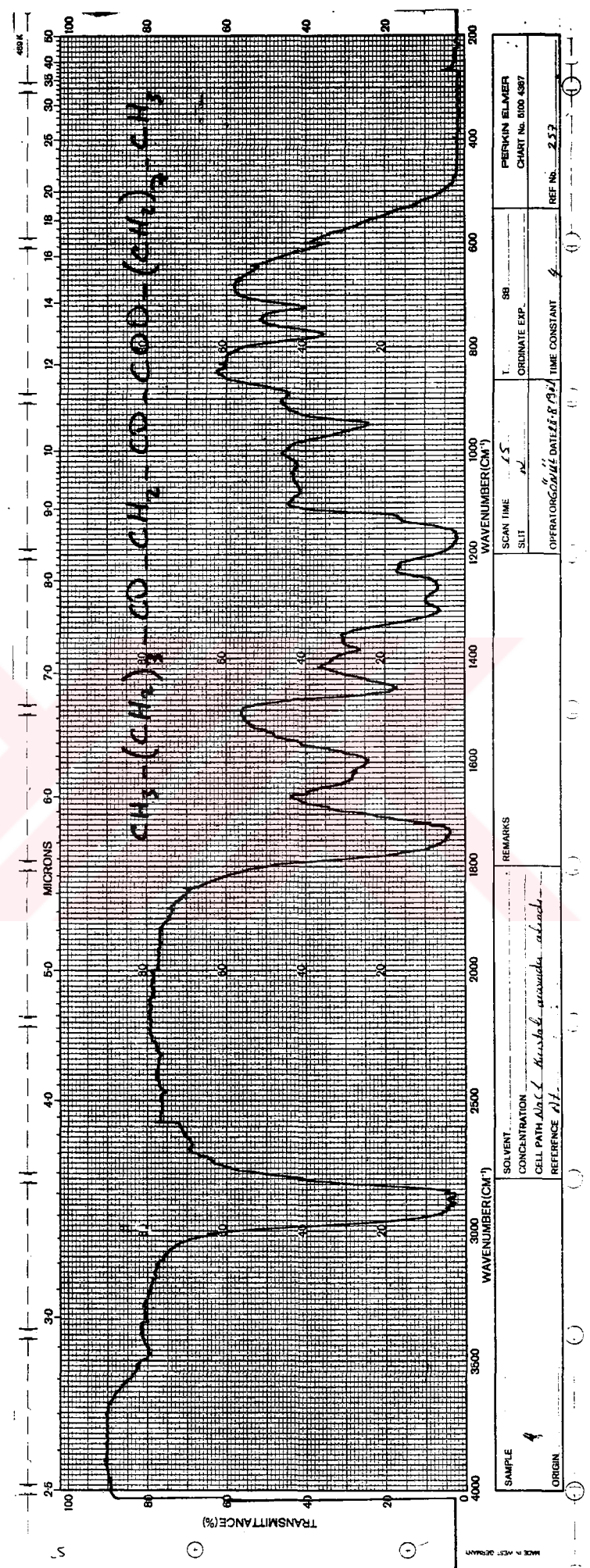
MM

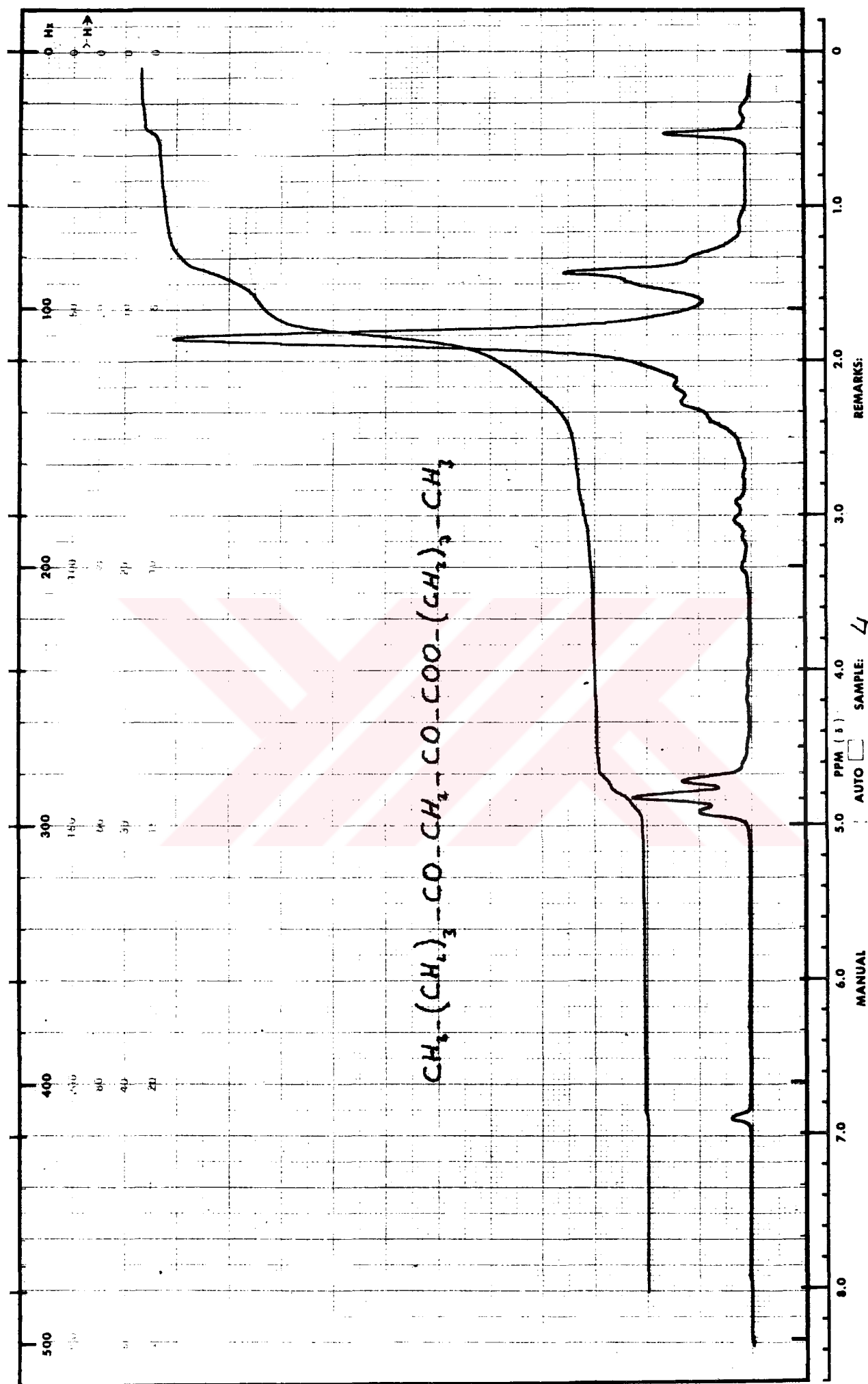
NN

OO

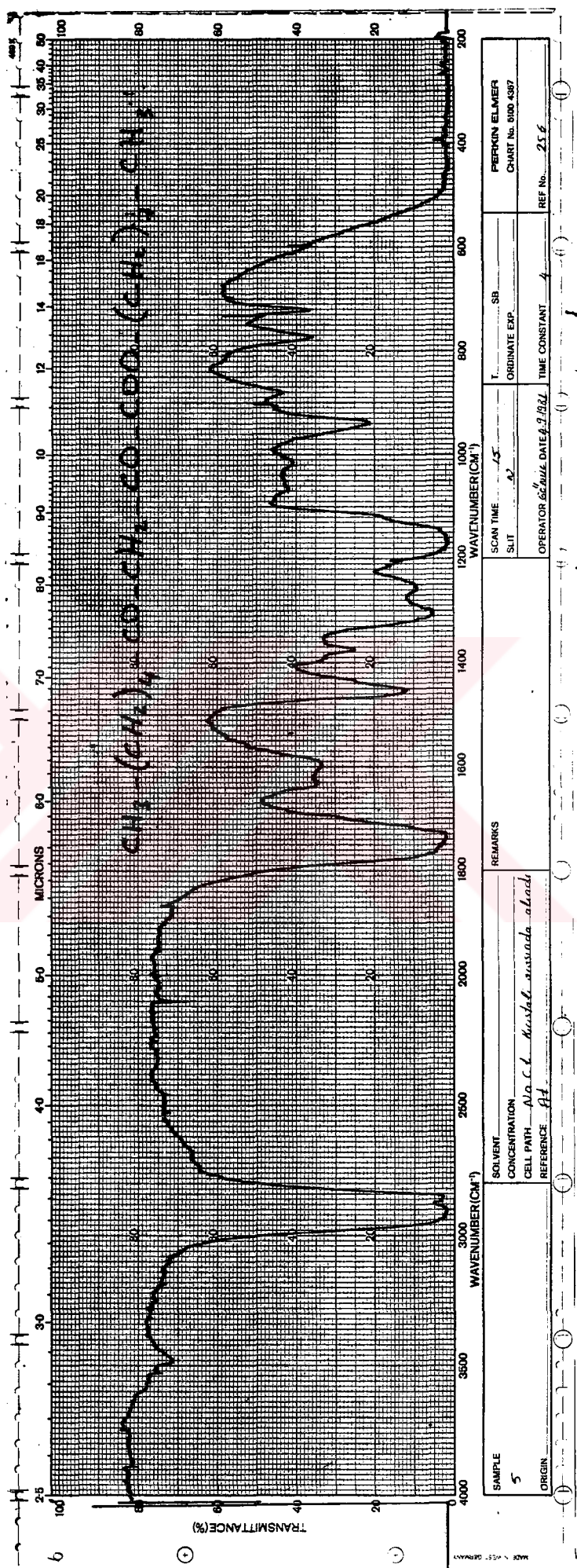
PP

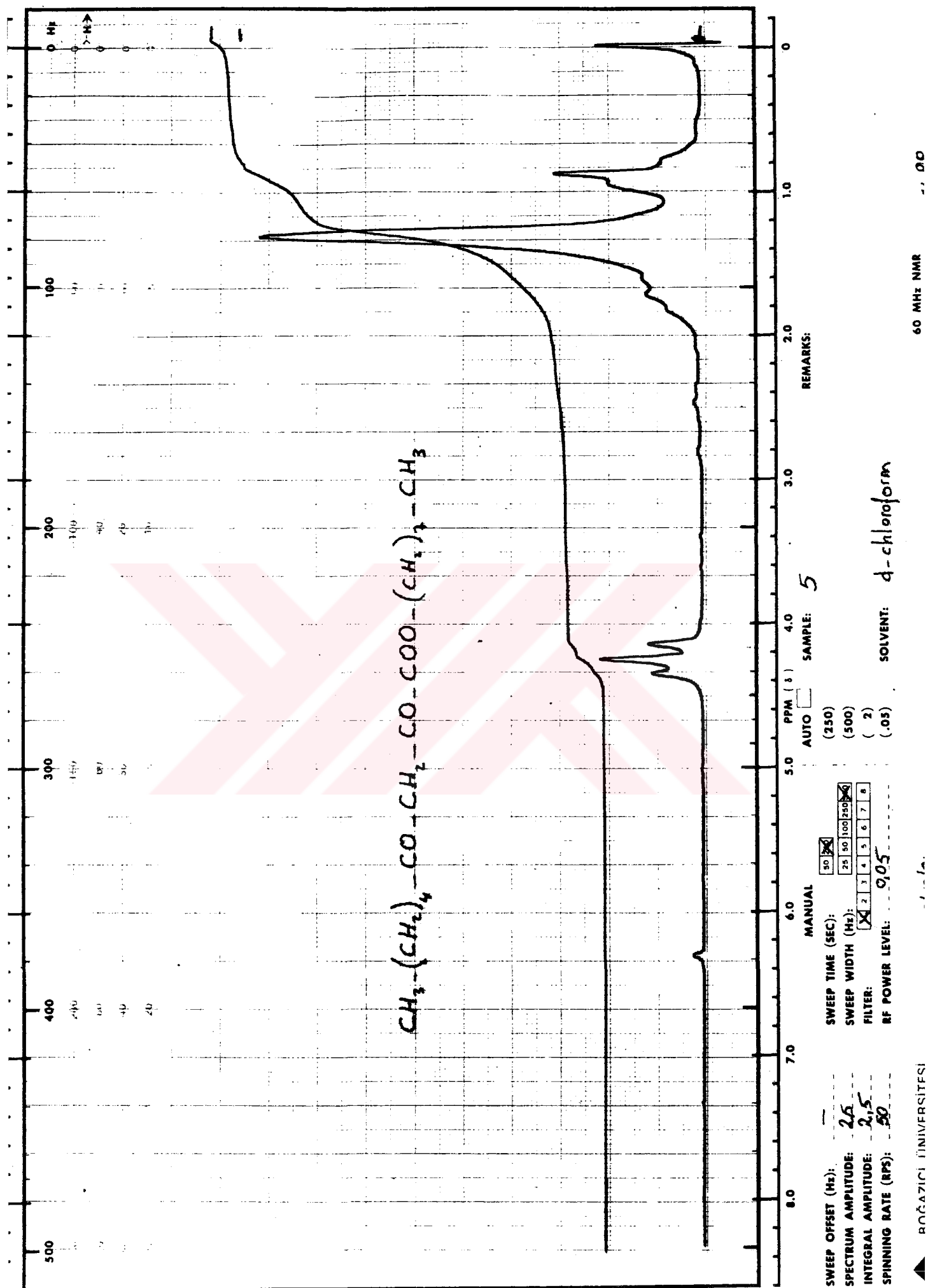
QQ

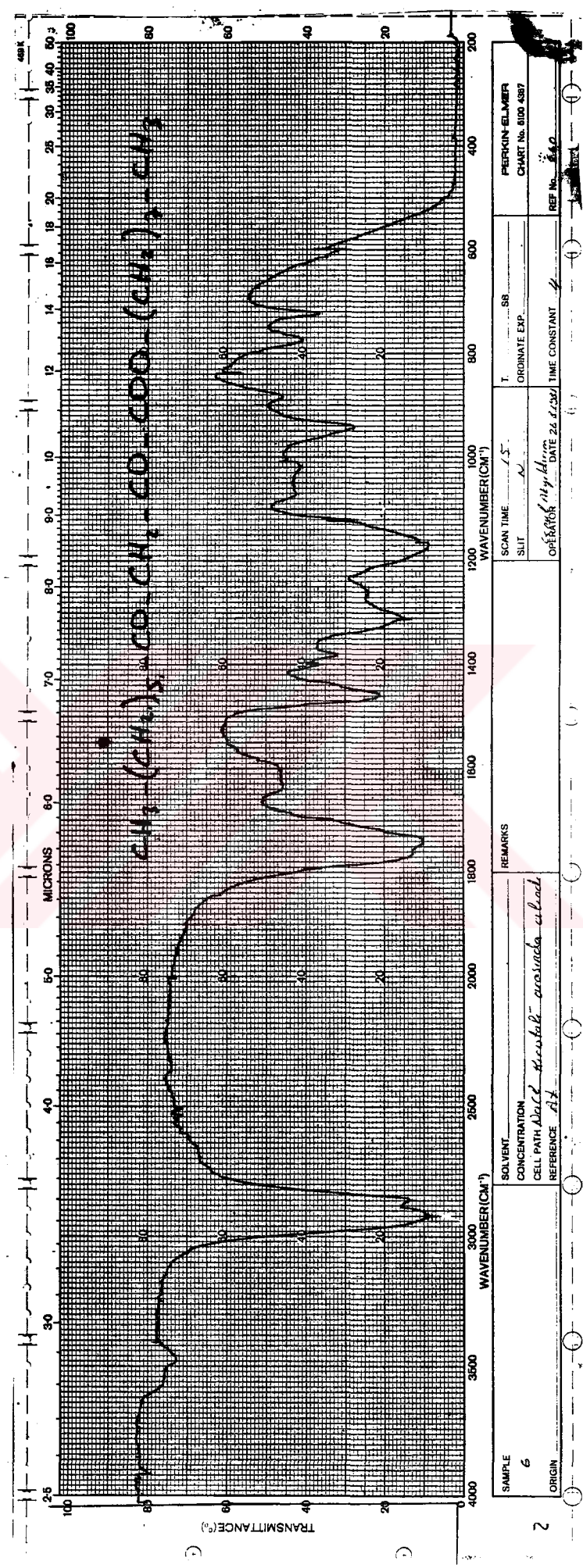


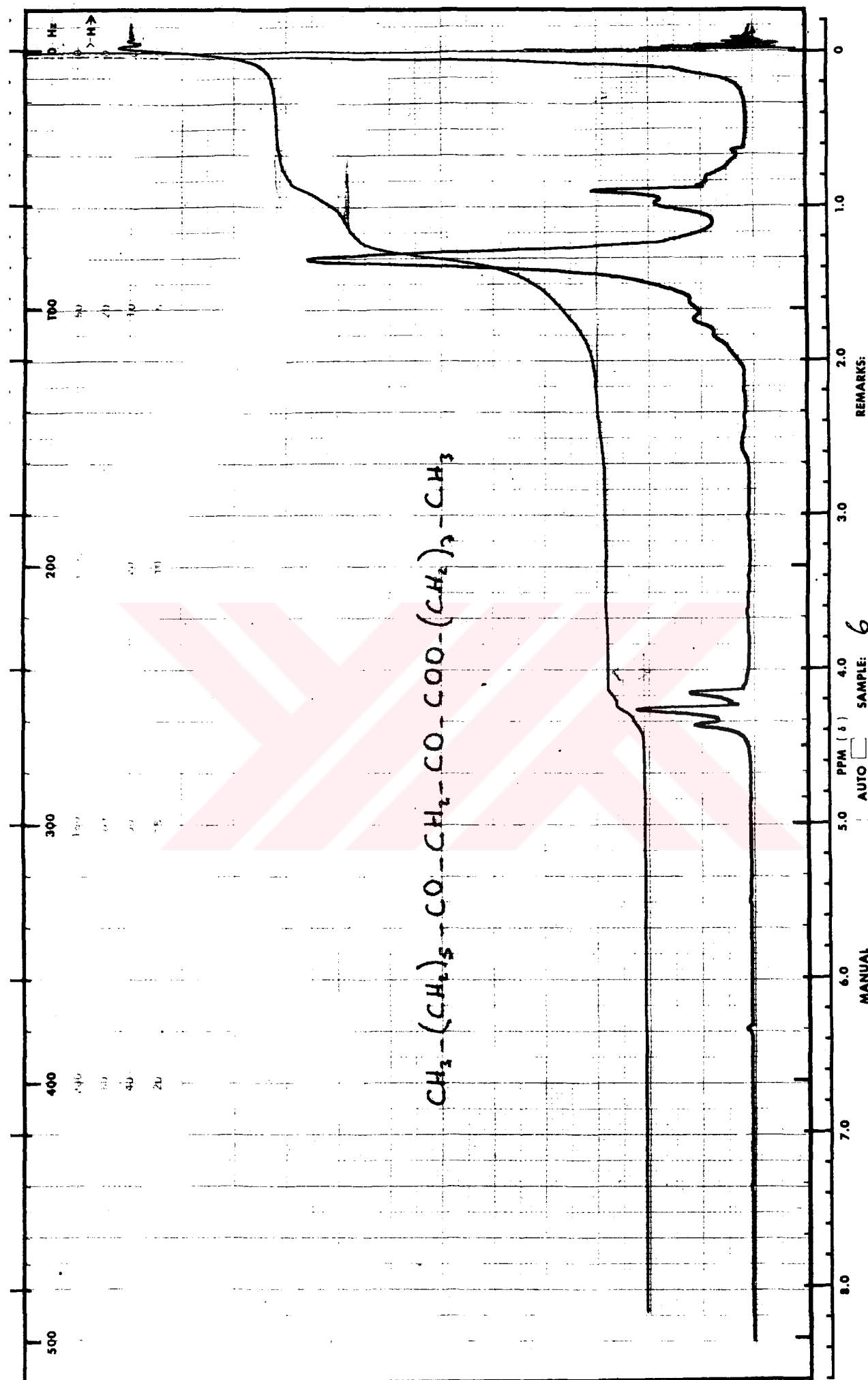


SWEEP OFFSET (Hz):  50 (250)  
 SPECTRUM AMPLITUDE:  3,2 (500)  
 INTEGRAL AMPLITUDE:  3,2 (2)  
 SPINNING RATE (RPS): 50 (0.05)  
 RF POWER LEVEL: 0.05  
 MANUAL  
 SWEEP TIME (SEC): 25 50 100 150 200  
 SWEEP WIDTH (Hz): 2 3 4 5 6 7 8  
 FILTER: ✓  
 REMARKS: 4  
 SOLVENT: d - chloroform  
 60 MHz NMR 11.98

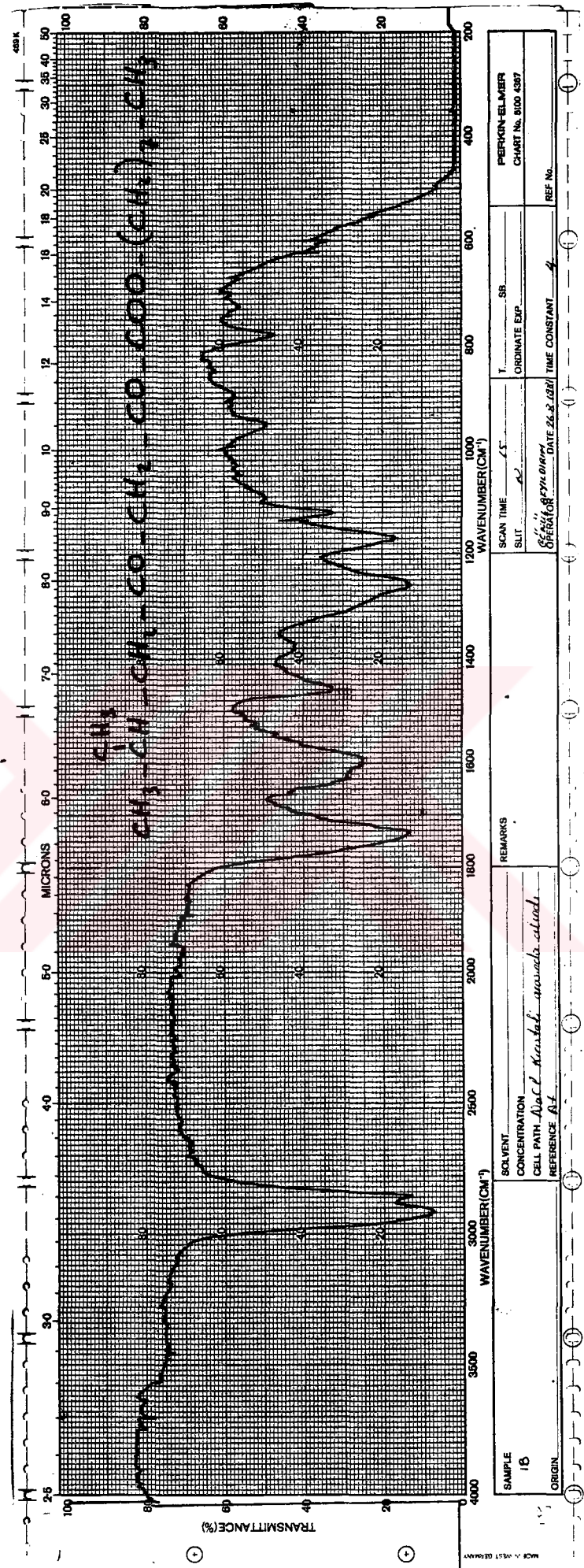


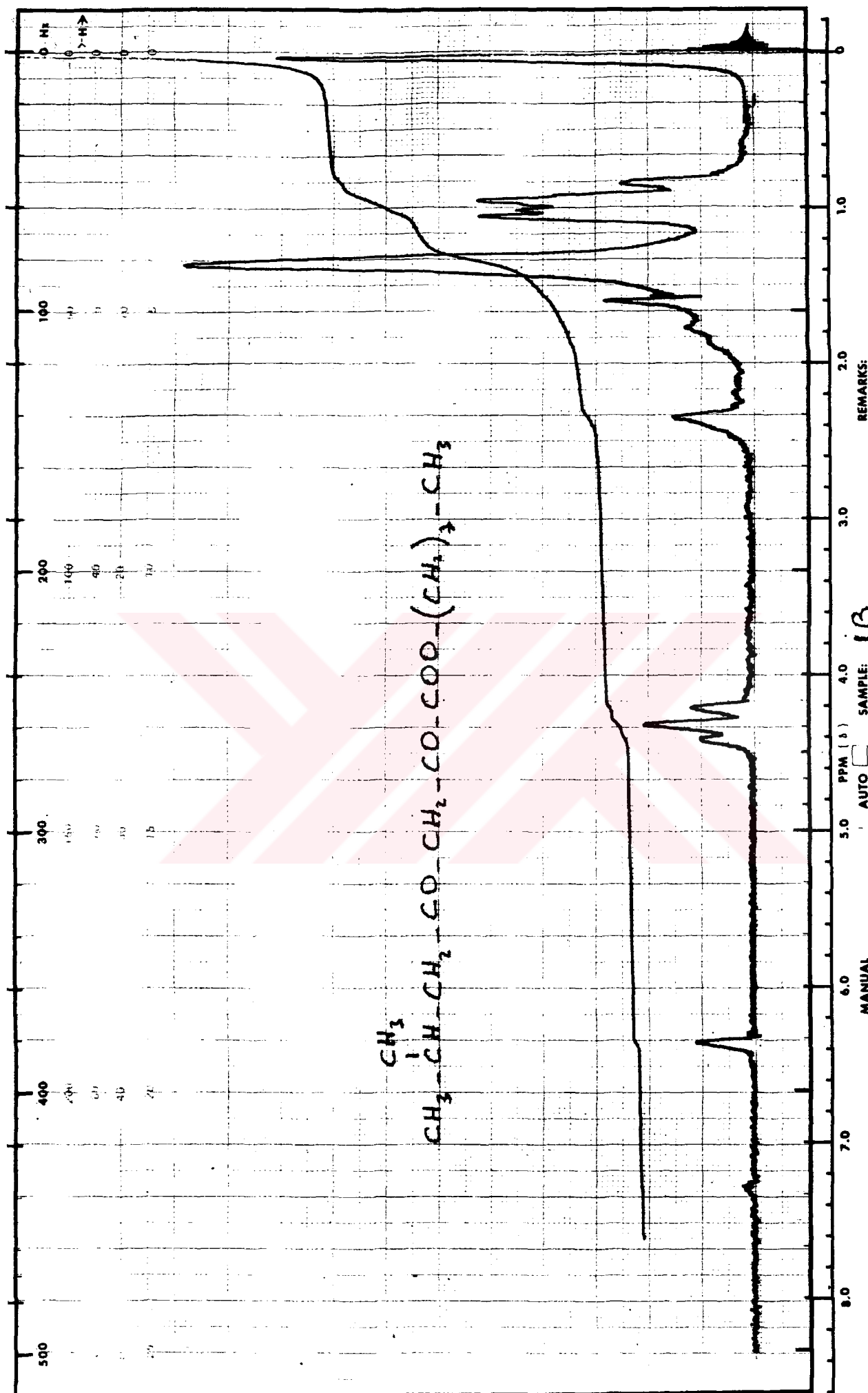






REMARKS:  
 $\text{CH}_3-\text{(CH}_2\text{)}_5-\text{CO}-\text{CH}_2-\text{COO-}(\text{CH}_2)_2-\text{CH}_3$   
 SPECTRUM AMPLITUDE: 2.5  
 INTEGRAL AMPLITUDE: 2.5  
 SPINNING RATE (RPS): 50  
 RF POWER LEVEL: 0.05  
 SOLVENT: *d*-chloroform  
 SWEEP OFFSET (Hz): 50  
 SWEEP TIME (SEC): 2.50  
 SWEEP WIDTH (Hz): 500  
 FILTER: 2 3 4 5 6 7 8  
 SAMPLE: 6  
 AUTO (250)  
 (500)  
 (2)  
 (.05)





SWEEP OFFSET (Hz): 20  
 SPECTRUM AMPLITUDE: 40  
 INTEGRAL AMPLITUDE: 40  
 SPINNING RATE (RPS): -50  
 SWEEP TIME (SEC): 50  
 SWEEP WIDTH (Hz): 250  
 FILTER: 2  
 RF POWER LEVEL: 0.05